

## LA ALIANZA ENTRE EL PUEBLO Y LA UJED

21 J. A. J. S.

**21st JUN 1980**

“Sauvage et sauvage, mais il y a de l’humour dans ce tableau,  
et il est à la fois drôle et émouvant.”

3. *Chlorophytum comosum* (L.) Willd.

### Registration Form Index

Інформація про

BIBLIOTECĂ CENTRALĂ  
UNIVERSITATEA "POLITEHNICA"  
TIERNIȘOARA

— 1 —

506557  
181 D

C D & R I A

## I. INTRODUCERE

Industria cimentului depășește cu o istorie relativ scurtă – primul brevet pentru fabricarea limentului numit "ciment portland" fiind al englezului Joseph Aspdin, din 1824 – o înregistrare mai ales după 1900 a dinamică spectaculoasă. România, care prin producția de ciment realizată în 1904 de cca. 14,6 milioane tone se situașă în primele 20 de ţări producătoare din lume, a dezvoltat la rândul ei, această industrie aproape în același ritm cu ţările cele mai dezvoltate. În 1900 la Camari și pînă la liniiile feroviare de 3000 t cl/d, comunitatea cu calculatoare și procese străbătut un curs lung și plin de „reveniri”.

Înțețul calitativ dur și continuitate col. Mai impresionant a fost realizat după 1945 cind s-a pus în funcțiune prima linie de 1000 t cl/d pe procedeul uscat.

În prezent, pe baza hotărîrilor ANI, ca pînă în 1970 practic întreaga producție de ciment a ţării să se realizeze pe procedeul uscat.

În fluxul tehnologic de fabricare a cimentului procesele de mîrzungeare apar în două faze ale cărui și anume la prepararea materiilor prime și la refinerarea cimentului.

Este foarte importantă tehnologia a proceselor de mîrzungeare și a împăcatărilor energetice pe care ele le aduc, prin lucrarea cu răpi să se aplice noile fizice acestea procese.

Lucrarea este structurată pe opt capitoluri, cuprinzând 19 tabele, 41 figuri și 40 de referințe bibliografice.

Capitolul I - "Introducere" - face o prezentare generală a literaturii.

Capitolul II - "Adruntirea și exigențele energetice actuale" - face o prezentare în temă stabilind ponderile proceselor de mîruntire din industria cimentului în balanșa energetică a economiei.

Totodată în acest capitol se face și o succintă trecere în revistă a proprietăților fizice ale materialelor care influențează comportarea acestora la mîruntire, menționându-se și direcțiile principale în ce sînt orientate cercetările întreprinse pe plan mondial.

Capitolul III - "Considerații generale asupra fizicii mîruntării materialelor cristaline", prezintă o serie de aspecte legate de rugozitatea materialelor precum și de factorii care o influențează. Se încearcă totodată prezentarea, pe baza literaturii de specialitate, a mecanismului rugozității caracteristic în casul operațiilor de mîruntire.

Capitolul IV - "Bazele teoretice ale fizicii mîruntării", după ce prezintă cerințele pe care ar trebui să le seteze să o teorie adecvată a mîruntării și arată că, pînă în prezent, nici una din teoriile mîncante n-a îndeplinit aceste cerințe, face o trecere sintetică în revistă a principaliilor teorii și relații existente în literatură de specialitate.

Capitolul V - "Studiul parametrilor tehnici care caracterizează comportarea materialelor la mîruntiri" exprinde, în primă parte o prezentare a acestor parametrii tehnici.

În continuare este prezentat studiul întreprins de autori privind comportarea granulelor individuale de clinker la sun-

precizare lenta. După definirea noțiunilor folosite (granuli individuale, compresiune lenta) și prezentarea materialului utilizat în cercetări, precum și a apăraturii și modului de lucru sînt date rezultatele obținute. În baza acestor date s-a stabilit o serie de relații matematice care descriu ceea ce înseamnă de fapt o serie de parametrii caracteristici solicitării la compresiune lenta.

Înălțindu-se aceeași tipie, se prezintă în continuare studiul comportării granulelor individuale de cliveler la șă dinamic, dându-se relațiile matematice deduse de autor, relații ce caracterizează această solicitare.

Capitolul VI - "Studiu dinamicii proceselor de măcinare și elincherului în diferite utilaje de laborator" cuprinde rezultatele obținute de autor la măcinarea elincherului în trei tipuri de utilaje de laborator, respectiv în roard înclinat, în laborator și în acera orizontală, tip Bond.

După ce sînt prezentate noțiunile și datele constructive ale acestor utilaje de laborator sînt evidențiate o serie de corelații între diversele parametrii și procesului de măcinare. Aceste date au oferit o imagine - calitativă în primul rînd - a modului de dezfațurare a măcinării în diferite situații, permittînd elogierea utilajului de laborator optim pentru studiul cinematicii măcinării.

Capitolul VII - "Studiu cinematicii săpunăririi" face în primul rînd o treiere în revista a lucrărilor fundamentale, precum și a teoriilor moderne referitoare la acestui problemă. În partea a doua a acestui capitol, autorul prezintă un model nou, original, al cinematicii procesului de săpunărire.

Modelul propus este însoțit de o prezentare detaliată a aparatului mecanic ajutător. În ultime parte a capitolelui sunt prezentate experimentările efectuate pentru verificarea modelului propus precum și concluziile ce se desprind din analiza modelului cinetic propus.

Capitolul VIII - "Concluzii" - cuprinde, pe de o parte, o sinteză a concluziilor trase de autor pe baza experimentărilor prezentate în lucrare, iar pe de altă parte, prezintă o serie de direcții de investigare, cu aplicabilitate practică, rezultate din această cercetare cu caracter fundamental.

Autorul începe să mulțumească în mod deosebit t.v., prof., dr. ing. Ioan Drăgoi, pentru modul în care l-a îndrumat în elaborarea acestei lucrări.

Același calde mulțumiri sunt aduse și t.v., dr. ing. Ion Coteș, pentru condițiile create autorului pentru efectuarea experimentărilor, pentru sprijinul moral acordat.

Authorul își exprimă recunoștință față de colegii de cunună pentru sprijinul de care s-a bucurat din partea lor, precum și pentru schimbul fructuos de idei și impresii în diferitele faze ale cercetării.

Autorul

## II. MARUNȚIREA SI ALIMENTAREA MATERIALELOR ACTUALE

Procesele de mărunțire reprezintă, în actualul stadiu al tehnologicii cimentului, unul dintre cei mai mari consumatori energetici, ele absorbind pînă la 5,4 % din energia electrică produsă pe plan mondial (1); dintre aceste procese, cele din industria cimentului rămăsăcătoare de departe cele mai mari consumatoare de energie, ponderosa lor, din acest punct de vedere, ajungind pînă lacca. 67 % (1,2). Industria de ciment a României a consumat în anul 1963, 1476556 kWh (3). Deceă se este nevoie să se analizeze și consumul de energie electrică al instalațiilor de mărunțire din echipamentele industriale lacca. 70 %, rezultă că în România s-a consumat în 1963, pe procesele de mărunțire din industria cimentului,cca. 1033589,2 kWh, adică 1,47 % din totalul energiei electrice produse în țară, respectiv 2,24 % din consumul total de energie electrică din industrie republicană (3).

Acste date pun în evidență importanța economică deosebită a proceselor de mărunțire, procese care au lăsat obiectul a numeroase studii și cercetări.

In ultime vîrste cercetători din numeroase țări și-au orientat cercetările către aprofundarea și îmbunătățirea procesului de mărunțire, concentrându-se cu totul sau aproape pe proprietăți pe care operațiile de mărunțire le conțin materialelor și care pot influența calitățile lor din punct de vedere al utilizării, cum sint :

- valoarea structurii cristaline;
- structura suprafețelor libere formate în procesul de mărunțire și activitatea lor chimică;
- sodul de ușăvoltare a fuziilor;
- factorul de formă al granulelor ;

- distribuția granulometrică.

Scopul acestor studii este de a optimiza procesul de mărunțire, în sensul de a se obține acumite caracteristici de utilizare ale acestora cu consumuri energetice minime.

Mărunțirea este un proces tehnologic prin care se realizează reducerea dimensiunilor particulelor din care este alcătuit un material granular, ceea ce i se modifică atât distribuția granulometrică și i se mărește suprafața specifică.

Comportarea materialelor la mărunțire depinde de un ansamblu de proprietăți fizice ale căror influențe calitative asupra performanțelor instalațiilor de mărunțire nu se poate fi încă stabilite cu claritate, deoarece ele sunt în majoritatea cazurilor evidente din punct de vedere calitativ.

Dintre proprietățile fizice ale materialelor care influențează comportarea lor la mărunțire se menționează :

- forma și dimensiunile granulelor de material la intrarea în utilajul de mărunțire. Granulele se măreșteau cu atât mai greu cu cit sunt de dimensiuni mai mici;

- duritatea materialului - a cărui creștere corespunde unei rezistențe sporite la eforturile de fragmentare, deci unei tendințe a granulelor de material de a ramâne mai mult în zona de acțiune a organelor de mărunțire;

- abrazivitatea - care determină ușura organelor de lucru ale utilajelor de mărunțire ;

- umiditatea materialului - care trebuie să fie, pentru a se face mărunțirea în bune condiții fie mai mică de 1-2 %, fie mai mare de 50 %, în domeniul valorilor intermediare existând pericolul blocării utilajelor respective cu material lipit;

- tenacitatea - a cărei creștere corespunde în multe cazuri cu ingreunări ale operațiilor de fragmentare ;

- aderativitatea unor materiale - care favorizează astfel formarea în paralel cu măruntirea, a unor aglomerări de particule, cît și lipirea materialului pe organele de lucru ale utilejelor de măruntire ;

- heterogenitatea materialelor - care conțin, în majoritatea cazurilor, granule cu comportări diferite, operație de măruntire având un caracter selectiv, fractiunile mai greu de măruntat susținând mai mult în instalațiile respective.

O analiză detaliată a influențelor cantității ale tuturor factorilor cități - de exemplu asupra productivității utilajului de măruntire sau asupra consumului specific de energie electrică pentru realizarea acestei operații - este foarte dificilă, astfel că, în prezent, cercetările care se întreprind pe plan mondial în acest domeniu sunt orientate în două direcții principale :

- lămurirea mecanismului reperit și stabilirea parametrilor care caracterizează acest fenomen, studii care au în vedere în special ruperea metalelor, iar care pot furniza pentru cazul materialelor măruntite în industria cimentului, unele indicații interesante, de ordin calitativ;
- definirea și determinarea valorilor unor parametrii caracteristici ai diferitelor materiale, din punct de vedere al comportării lor la fragmentare.

### III. CONSIDERATII GENERALE ASUPRA FIZICII MĂRUNTIRII MATERIALELOR CRISTALICE

Ruperea materialelor a fost studiată mai întâi în legătură cu nevoile stabilirii unor criterii de rezistență utilizabile

în practica inginerescă, pentru calculul de dimensionare, studiindu-se fenomenele care se desfășoară la nivelul structurii atomice și moleculare prin urmărirea efectelor observabile la scări macroscopice, ajungându-se la dezvoltări teoretice cu concluzii aplicabile în practică pe baza modelului de mediu continuu deformabil. Această mod de abordare a problemei conduce însă la limitări ale criteriilor elaborate - de exemplu criteriul tensiunii normale sau tangențiale maxime, cel al lui Mohr, criteriile energetice, etc. - prin faptul că modelul teoretic utilizat nu poate cuprinde influența caracteristicilor de structură, care, astfel cum au arătat-o olar cercetările mai recente, sunt determinante în apariția și evoluția fenomenelor de rupere.

Limitările amintite au devenit evidente odată cu dezvoltarea de noi tipuri de construcții de mare performanță cum sunt cele aerospațiale, construcții navale moderne, etc., în special în legătură cu necesitățea de a se încărca elementele acestora mai aproape de limite de rupere. Teoria clasică își pierde deosebit valență tocmai în domeniul, de interes deosebit pentru lucrările de față, al mecanismelor intime ale ruperii molidelor, ceea ce a determinat apariția unei noi discipline, cunoscută sub numele de "mechanica ruperii materialelor", ale cărei origini se regăsesc în lucrările lui Griffith de la începutul celui de-al treilea deceniu al secolui secol (4).

În punct de vedere al structurii solidelor și al influenței sale asupra proprietăților acestora, concepția moleculară, situită de utilă în domeniul gazelor, conduce în multe cazuri la concluzii eronate. Solidele pot fi alcătuite atât din molecule proprii - cum foarte rar întâlnit - cât și, mai adesea, din atomi, ioni, electroni, etc., dispuși în rețele de o mare varietate, dispuse

care se cunosc (5) :

a) juxtapuneri de atomi fără sarcini electrice, formind cristale atomice (gaze nobile) ;

b) grupări de atomi neutri, având electroni comuni în cadrul grupării, cer nu și atomii din grupării adiacente, situație în care se pot forma cristale moleculare tăndre și cu greutate specifică redusă (sulf, sodiu, materiale organice), flexibile (seleniu, arsenic), foi (grafit, molibden) și cristale diamantine, delimitate pe nici o direcție, foarte dure;

c) grupări de atomi cu sarcini electrice, dar fără electroni comuni, formind cristale ionice simple (săruri, acidzi, alcali);

d) grupări de atomi cu sarcini electrice, având electroni comuni în interiorul grupării, dar nu și între grupări, putându-se forma cristale ionice complexe, de dimensiuni foarte mici (diferite săruri, acidzi, alcali), structuri floros (casbest), plane (mică, argile, substanțe organice) și massive (diferiți silicati);

e) juxtapuneri de atomi cu sarcini pozitive și de electroni, formind cristale metalice.

În afară de primul tip de structuri, în care nu intervin deosebit forțe Van der Waals, de natură fizică, în toate celelalte apar, între particulele care formează diferitele tipuri de cristale, forțe mult mai mari, ce pot fi considerate ca fiind legături chimice.

În practica mărunțirii materialelor din industrie cimentului se întâlnesc în special structuri de tipul "c" și "d", ele păcind problema învingerii a două categorii de forțe, respectiv cele dintre cristale și cele, mult mai mari, din interiorul

cristalelor. Contribuția acestora din urmă în consumul total de energie pentru realizarea fragmentării este cu atât mai mare cu cît finețea ce trebuie obținută este mai avansată, în raport cu dimensiunile cristalelor, ea fiind mai importantă în cazul măcinării materiilor prime.

Sub acțiunea eforturilor exterioare, rețelele cristaline se pot deforma ca urmare a uneia dintre următoarele procese :

- alunecarea în plan și pe direcții preferențiale ;
- meclarea, care constă în căpătăierea unei părți din rețea astfel încit această să se deplaceze, în raport cu un plan - plan de meclare - într-o poziție simetrică ;
- pierderea locală a stabilității, regiunea respectivă trecând brusc într-o poziție inclinată, fenomen întâlnit în cazul solicitării la compresiune a cristalelor hexagonale pe o direcție paralelă cu planul de bază.

Creșterea în continuare a eforturilor duse, după deformarea cristalelor și stingerea unor niveluri corespondătoare de încărcare, la ruperea lor, care se poate produce în două moduri fundamentale :

- ruperea prin separare sau clivare, care implică deasfătuirea legăturilor atomice, perpendicular pe planurile în care acestea sunt cele mai slabe, sub acțiunea componentelor normale ale tensiunilor;
- Ruperea prin surface, în planuri cu densitate maximă de atomi.

Rezistența teoretică la rupere a materialelor cristaline este determinată de forțele de legătură interatomice, care sunt rezultantele dintre forțele de atracție și cele de repere, conform fig. 1.

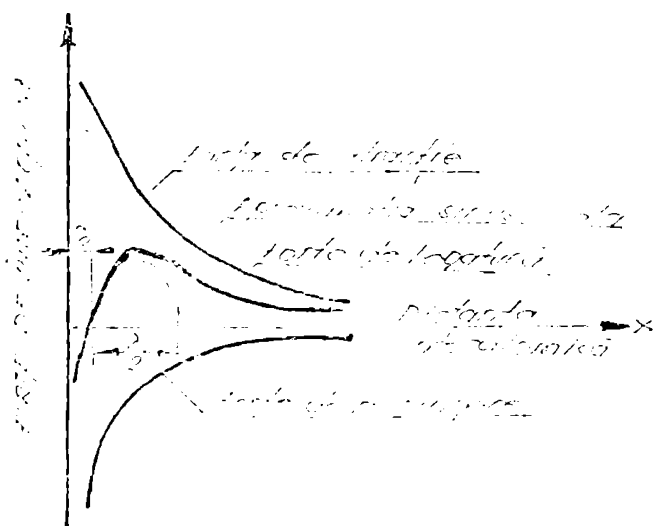


Fig. 1. - Forțe de interacțiune atomică (4)

$C_0$  - coordonata poziției de echilibru ;

$\lambda$  - lungimea de undă a forței aproximative sinusoidale de legătură.

rezultându-se că energia necesară pentru desprinerea celor două fețe ale planului de separare este echivalentă cu energia superficială a celor două suprafețe formate, aceasta fiind la undul ei egală cu lumenul mecanic al forțelor de legătură, în timpul deplasării celor două părți ale cristalului pe o distanță  $\lambda/2$ , corespunzătoare semiperioadei funcției sinusoidale care exprimă ecuația reală a forței de legătură, sau calculat, pe baza determinării valorilor energiei superficiale, a modulului de elasticitate și a distanței de echilibru interatomic, rezistențele teoretice normale pentru diverse materiale. Valorile găsite sunt aproape de cele determinate în mod direct pe cale experimentală numai în cazul non-existentelor care nu conțin defecțiuni de rețea. În toate celelalte cursuri, rezistențele determine experimental sunt mai mici decât cele teoretice. Aceste diferențe sunt atribuite în prezent, de majoritatea cercetărilor, defecțiilor de rețea ale materialelor tehnice și în

special diferitelor tipuri de dislocații, care favorizează deformările rețelelor (4).

Noua concepție asupra ruperii materialelor consideră că aceasta este un proces puternic localizat, la originea căruia se găsesc diferite tipuri de imperfecțiuni ale microstructurii, cum sunt microfisurile, dislocațiile, impuritățile, etc.

La nivel macroscopic se disting două tipuri caracteristice de ruperi :

- ruperea fragilă sau prin separare, care apare la un nivel de tensiune bine definit, ponderaș principial a consumului de energie al procesului fiind reprezentată de cel necesar pentru invințarea forțelor de coacere ;

- ruperea ductilă, care se dezvoltă progresiv, prin deformări plastice, ce la un nivel inițial al tensiunii la un nivel final superior, lucrul mecanic necesar pentru deformarea premergătoare ruperii având ponderaș cea mai mare în consumul energetic al procesului.

Această diferențiere macroscopică nu este riguroasă corelată cu modurile structurale de rupere. Astfel, în cazul ruperii prin separare, inițierea procesului poate fi precedată de deformări plastice la nivelul microstructurii. Mai trebuie remarcat că ruperea prin separare este favorizată de blocarea dislocațiilor pe atomi interstitiali, impurități, etc.

La metale se pot observa anumite moduri macroscopice de rupere, în timp ce materialele supuse mărunțirii în industria cimentului sunt preponderent fragile.

Determinările experimentale ale rezistențelor la rupere ale diferitelor materiale, chiar dacă sunt executate după o tehnică invariabilă, conduc la rezultate diferite, a căror variabilitate se

poate explica prin faptul că ruperea, fiind caracterată de defectele microstructurale menționate, este un fenomen aleator. Această observație poate constitui și o explicație a faptului că variabilitatea rezultatelor experimentale este mult mai pronunțată în cazul rupelor fragile decât în cel al rupelor ductile, precedate de deformări plastice importante. Ne dezvoltă astfel o concepție probabilistică despre rupere, care, în forma sa cea mai simplă se bazează pe următoarele ipoteze :

- defectele sunt repartizate uniform în volumul de material considerat ;
- nu se produc interacțiuni între defecte ;
- existența unui singur defect de intensitate critică poate cauza ruperea în volumul considerat.

Se demonstrează că probabilitatea de rupere este dată de relația :

$$P = 1 - e^{-cv} \quad (1)$$

în care :

- $v$  - volumul buclei de materiu supus mărișirii ;
- $c$  - coeficient experimental, funcție de intensitatea și modul de aplicare a eforturilor.

Această concepție va fi utilizată pentru interpretarea unor distre fenomenele ce apar în cadrul proceselor de mărișire.

Întrucât aplicăriile tehnice, un interes deosebit îl prezintă studiul fenomenului ruperei la nivel macroscopic, cu evoluție conținută a parametrilor săi caracteristici. Întrucât ruperea materialelor se produce prin dezvoltarea unor fisuri și cavitați care - după spărute printr-un proces la nivel microscopic - ajung la dimensiuni față de care detaliile microstructurii (reteaua cristalină, dislocațiile imparițile) apar neignabile, procesul poate

și tratat teoretic pe baza modelului mediului continuu cu fisuri. Problema este abordabilă prin metodele generale ale termodynamicii particularizate la studiul echilibrului energetic al fisurilor și pe acestă cale s-a stabilit criterii noi de rezistență (Griffith, Baranblad, Irwin, etc), care se referă mai ales la calculul piezelor metalice ieșind deci din domeniul temei lucrării de fază, dar și cărora studiu a evidențiat unele fenomene care vor trebui urmărite și în cercetările asupra sărăncirii rocilor. Astfel, valoarea critică a factorului de intensitate a tensiunii (definit de Griffith), capabilă de a declansa propagarea instabilă a unei fisuri și a ei ruperea, crește cind dimensiunile granulelor scad și cind temperatura crește și scade cind crește viteza de aplicare a sarcinii și cind ruperea are loc în medii active sau sub acțiunea radiației neutronice.

După Bond (o), caracteristic pentru operațiile de sărăncire este mecanismul ruperii unei buăți de rochă de formă neregulată, prin compresiunea progresivă, ale cărui faze sunt următoarele :

- sfârșirea punctelor proeminente, în care se aplică forțele exterioare ;
- comprimarea și deformarea rocii și crearea în masă a unei distribuții de tensiuni în funcție de formă și structura ei ;
- depășirea în anumite puncte a rezistenței de rupere, ceea ce duce la formarea de fisuri ;
  - ⇒ redistribuirea tensiunilor și a energiei de deformare, care se concentrează la extremitățile fisurilor, determinând extinderea lor și cind bucata de rochă cedează ;
  - apariția, în paralel cu fazele precedente, a unor concurență secundare de tensiuni, care produc aduse de fisuri și rupturi suplimentare.

Această concepție sintetizează destul de bine concluziile asupra ruperii solidelor și evidențiază complexitatea fenomenelor de măruntire a roșilor.

#### IV. PANĂ LA TEORIEA ALE IZICII MĂRUNȚIRII

Împreună cu aproape un secol, procesele de măruntire au fost studiate sub aspectul energiei consumate în timpul mărunțirii. Acest mod de a privi problema este corect și logic, pentru că mărunțirea, după cum s-a arătat, este un factor decisiv în stabilirea prețului ce cost al iauricării cimentului, iar energia consumată pentru aceasta este de totată în mare parte proceselor de mărunțire.

În urma acestui fapt, numeroși cercetători au ciutat să elucidiceze aceste fenomene și să elaboreze o teorie adecvată, care să corespundă realității. Cu toate cercetările intense desfășurate, pînă în prezent nu s-a putut elabora o teorie unitară, adecvată și verificabilă în practica industrială a mărunțirii.

Teoria adecvată a mărunțirii ar trebui să satisfacă o serie de cerințe între care se menționează (7) :

- să explică distribuția rezistenței particulelor de dimensiune dată și relația dintre rezistențele particulelor și dimensiunile lor;
- să definișească distribuția căpușării a materialului rezultat, punind în relație această distribuție cu tipul și densitatea forțelor de mărunțire;
- să explică pe deplin modul de utilizare a energiei într-un proces de măruțire, deci să arate dacă energia, sau o parte din ea se transferă materialului, și adăuga că fizica acestuia arată că energia este evacuată total sub formă de călărit;

- să desemneze posibilitatea calculării energiei necesare pentru reducerea unității de masă a materialului de la o dimensiune la alta ;

- să permită formularea unei concluzii cu privire la eficiență absolută a unei mări ;

- să desemneze indicații pentru alegerea celui mai bun tip de moară, adecvat pentru măruntirea unui anumit material.

După cum s-a mai arătat, pînă în prezent nici o teorie nu a reușit să dea un răspuns complet, global și științific tuturor acestor probleme. Literatura de specialitate pune la dispozitionul noastră multe teorii, de relație matematică care încearcă să abordeze une sau alte cîteva leaturile teoriei măruntirii.

Așa cum, o serie de cercetători și-au avut investigațiile pentru stabilirea unor relații de repartiție granulometrică (v. tabelul 1). Între ele, cel mai des utilizată sunt relațiile lui Rosin-Rammler-Perling (cu ajutorul diagramei dublu-logaritmice a lui Bennet), cît și cele stabilite de Gaudin (cu Andreev și Ichumentch) (8-12). Aceste relații au totuși doar anumite domenii de aplicare, iar discuțiile se poartă în ultima vreme în special în jurul valorilor factorilor de neuniformitate a distribuției granulometrice, pentru precizarea cărora ar putea fi utile metodele statisticoco-stocastice (13).

Diversi cercetători au căutat să găsească corelații între suprafață specifică și granulometrie însă formulele experimentale obținute (v. tabelul 2) nu fiecare un domeniu restrîns de utilizare; dintre aceste relații, cea a lui Anselm (14) este cea mai ușoară și folosește repartiția Rosin-Rammler-Perling.

Studierea vitesei de măruntire-variația granulometriei acordării serialului în funcție de durata măcinării, a permis stabilirea di-

## RELATII DE REPARTITIE GRANULOMETRICĂ.

Autorul (anul) Observatii	Relatii	Notatii
Martin (1924)	$\frac{dy}{dx} = \alpha \cdot e^{-\beta x}$	$y = f(x)$ , functie de $x$ $x$ - dimensiunea granulor $\alpha, \beta$ = constante
Gaudin (1926) Relatiile confirmata de F. Bond, Maxon, Andreiev (1939), Schuhmann (1940).	$y = \left(\frac{x}{x_0}\right)^m$ Caz particular: $y = 0,8 \left(\frac{x}{x_0}\right)^m \rightarrow Taggart si F. Bond$	$m$ = constantă $y$ = procentul de granule de dimensiuni $\leq x$ $x_0$ = modul reprezentativ al dimensiunii partilor cind $y = 1$
Rosin-Rammler (1933) Relatie sustinuta si de Andreassen, Bennett, Sperling, Brenner, Vidmar (1950) etc.	$y = 1 - e^{-\left(\frac{x}{x_0}\right)^m}$	$x_0$ = modulul/dimensiunea caracteristica pentru $y = 0,632$
Svensson (1933) Upinde relatii de mai sus intr-o formă generală.	$y = \frac{\int_{x_0}^x e^{-z^{\frac{1}{p}}} dz}{\int_{x_0}^{\infty} e^{-z^{\frac{1}{p}}} dz}$ Cazuri particolare: $p=0 \rightarrow$ Gaudin $p=1 \rightarrow$ Rosin-Rammler	$z = \left(\frac{x}{x_0}\right)^m$ $p$ = dispersia fractiunii granulare de la mijlocul moecii Usual: $m = 0,5 \dots 1,1$ $p = 0,2 \dots 3,2$
Heywood (1933)	$\frac{dy}{dx} = \alpha \cdot e^{-b \cdot x^m}$	$\alpha, b, m$ = constante
Weining (1933)	$\frac{dy}{dx} = \frac{N}{x^b}$	$N, b$ = constante
Keller (1937)	$y = \alpha \cdot V \cdot x \cdot e^{-\frac{x}{V}}$	$\alpha, V$ = constante
Hatch-Coxwell (1938) Intr-o formă similară cu cea de la Gaudin, dar cu o probabilitate de incertitudine.	Relatii logaritmice de repartitie granulor.	—
Sed/otshchek si Bass (1966)	Teoria matematică a mărunturii bazată pe probabilitatea ciocnirilor.	Se introduce noțiunea de granulometrie "naturală"
Proebstleit, Corlett (1965), Brown (1965)	Relatii bazate pe calcul matricial	—
Wangkowsky, Hestens, Sorensen si Gjelstad (1967), Erdmann (1963), Fagerholth (1948), Malmquist si Stenje (1969)	Alte relatii de repartitie granulometrică.	696 - 1813

# RELATII INTRE GRANULATIE SI GROUATORIA SPECIFICA

Materiu / Sursa	Relatii	Notatii
<i>Rezervu / (1951)</i> <i>Rezervu / (1951)</i> <i>Relatia teoretičă „globular“</i>	$S = \sum \alpha_i s_i = \frac{k}{g} \cdot \sum \frac{\alpha_i}{d_i}$ $k = 1 \dots 16$ , constantă a formei fragmentelor (după Rey, pentru ciment $k \geq 7$ )	$\alpha$ = proporția fragmentelor granulare $s$ = suprafața spec. a fiecărei clase granulare $d$ = dimensiunea medie a nucilor clasii (ca medie aritmetică sau logarithmică) $S$ = grotatoria specifică
<i>Kihlstedt (1962)</i>	$S = \frac{k}{g \cdot \sqrt{d}}$ $S = S_0 + C_x \cong \frac{k}{\sqrt{d}}$	$d$ = diametrul micru al fragmentelor (calculat ca diametru $d_{90}$ ) $g$ = grotatoria specifică $k = 500 \dots 775$ , constantă de natură numărul de valori care caracterizează repartitia granulare 80% sau 100% fruct, pe $C; k' = \frac{k}{g}$ , constantă
<i>W. O. Blödau - rezultatele lui Rönn-Rammler - în mod empirică</i>	$S = k (2 - \log R_{30})$	$k \approx 6000$ , coeeficiență de procedeu de operare $R_{30}$ = procentul de rezidu finumodur (fără gr.
<i>J. P. Lombard (1958) - rezultate empirice</i>	Pentru granule fine ( $< 7 \mu$ ): $S \approx 110 \dots$ Pentru materii prime în industria cimentului. $S \approx 6500 - 87 \cdot R_{90}$	$\alpha_1$ = proporția fragmentelor granulare sub $7 \mu$ $1500 \text{ cm}^2/g \leq S \leq 10000 \text{ cm}^2/g$
<i>A. Szekely (1950) După Rönn-Rammler - rezultat empirică</i>	$S = \frac{36,8}{d_{36,8} \cdot n \cdot g}$	$d_{36,8}$ = diametru median al fragmentelor granulare $n$ = punct curbei Rönn-Rammler $g$ = grotatoria specifică
<i>H. Vennat (1951) - rezultate empirice</i>	$S \approx 7000 \left( \frac{1}{g_0} - 0,5 \right)$	$g_0$ = grotatoria specifică (D45/g)
<i>Roller, Gates, Rosin, Rammler, etc</i>	Alte relații empirice	

feritelor relații care încercă să modeleze matematic cinetica proceselor de măruntire (v. tabelul 3). Nici una dintre aceste expresii nu are o largă aplicabilitate practică, deși aproximarea acestui aspect sporește esențială pentru dinamica procesului, și ales în vederea ameliorării rădăcinței de măruntire. Deși pentru exprimarea rădăcinței măruntirii (în funcție de energiile ce intervin în proces) există foarte multe relații, dintre care cele mai importante sunt prezentate în tabelul 4.

Măruntirea este un fenomen complex, care trebuie privit nu numai ca fiind de natură mecanică, ci și din punct de vedere termocromatic, fizico-chimic, etc. În ceea ce privește mecanismul complex al măruntirii nu s-a ajuns încă la o teorie generală, și întrucât de stabilire a energiei consumate în operațiile de măruntire, deși, în cursul timpului au fost propuse numeroase teorii (logi) ale măruntirii (1)-16). În tabelul 5 sunt prezentate principalele teorii de măruntire (cele „clasică”), iar în tabelul 6 alte teorii stabilite după anul 1950. Tabelul 7 cuprinde în sinteză, principalele relații energetice privind măruntirea.

Toate aceste teorii de măruntire au un caracter mai mult sau mai puțin empiric, un domeniu de valabilitate destul de aproksimativ definit și nici una nu poate fi considerată ca legă generală a procesului. În plus, după cum arată Guillot (5), toate teoriile elaborate pînă în prezent nu le bază ipoteze simplificatoare față de fenomenul real al măruntirii, neînținând seama de une sau mai multe din următoarele constatări cunoscute sau puse în evidență de practică :

- materialele sunt în general heterogene ;
- în timpul măruntirii apare fenomenul de aglomerare a particulelor ;

- repartițiile granulometrice reale prezintă abateri față de formulele ideale propuse ;

- particolele provenite din ruperea aceluiși material nu sunt isotrope și nici similară geometrică;

- solicitările și deforțările diferitelor particole pînă la rupere nu sunt uniforme;

- suprafețele de rupere nu sunt similare ;

- există deosebiri esențiale între fenomenul măruntirii unei particole individuale și al unui ansamblu de particole, g.e.m.d.

Confirmate sau neverificate de experimentări, susținute sau contestate de diversi autori, unele sau altele dintre aceste teorii empirice pot fi totuși utilizabile pentru studierea mecanismului măruntirii. Așa că exemplu, legea lui Kick-Kirpicev este aplicabilă, cu suficientă aproximare, pentru grade de măruntire corespunzătoare domeniului concesării și premăcinării, iar legea lui Rittinger este utilizabilă în domeniul măcinării pînă la fineții nu prea evansate, începînd de la care apare evident fenomenul de aglomerare, definit cantitativ de Rapadakis (17-18). Așa numite "teorie a treia a măruntirii", enunțată în anul 1952 de Bond (1) se situează între "ipoteza suprafețelor" a lui Rittinger și cea a "volumelor" a lui Kick-Kirpicev. În domeniul măruntirii la fineții foarte mari, începe să fie valabilă relația lui Kiesekelt, prezentată în tabelul 6. Formulele lui C. Dimitrescu, date în același tabel, bazîndu-se pe teoria lui Rittinger, țin seama de apătitudinea la aglomerare.

Încercările de cuprindere a mai multor teorii în formule generalizatoare, au slabidă caracterul lor empiric. Cea mai cunoscută relație generală este cea a lui Charles (20), dată în tabelul 5. Alte încercări de generalizare se datorează lui Schumman (v.

## RELATII PRIVIND VITEZA DE MARUNTINGE.

Autorul (anul) și teorie	Relații	Notări
Fahrenwald (1934)	$\frac{dR}{dt} = -R \cdot f(x)$	$R(t,t_0) =$ funcție de măcinare, reprezentând repartiția reziduilor pe o vîrstă, dimensiunii granulelor $x$ după timpul de măcinare $t$ . $\frac{dR}{dt}$ = viteza de măcinare, respectiv conținutul de material măcinat, la o vîrstă dată (in procente de reziduu cumulat) în unitatea de timp. $f(x)$ = funcție caracteristică
Zagustin (1940) Formula a fost infirmată de experimentatori	$f(x) = \alpha x$ ; $R(t,t_0) = R_0(x) \cdot e^{-\alpha x t}$ ; $\frac{dR}{dt} = -R \cdot \alpha \cdot x$	$\alpha$ = constantă
Petrov, F. Bond (1950), Andreev (1959) Formula nu s-a putut verifica experimental	$R(x,t) = R_0 \cdot e^{-ct}$ ; $\frac{dR}{dt} = -c \cdot R$	$R_0$ = reziduii cumulati pe o suprafață la timpul $t=0$ $c$ = coeficient de optitudine la măcinare
Nicoviciu (1938) Formula corespunde repartiției Rosin-Rammler și s-a verificat experimental	$R(x,t) = R_0 \cdot e^{-c \cdot t^n}$ ; $\frac{dR}{dt} = -c \cdot n \cdot t^{n-1} \cdot R$	$n$ = exponentul funcției Rosin-Rammler (considerat constant)  Cazuri particolare: $n=1$ , viteza de măcinare e constantă $n > 1$ , viteza crește $n < 1$ , viteza scade
Romadlin	$R(t,t_0) = R_0 \cdot e^{-\left(\frac{t-t_0}{t_c}\right)^n}$	$t_c$ = intervalul de măcinare după care reziduul cumulat are 36,8% din valoarea sa inițială
Potof și Langemann (1959) Analogie cu viteza reacților chimice	$\frac{dR}{dt} = -c \cdot R^n$	$n$ = ordinul de reacție

# EXPREZII ALE RANDAMENTULUI DE MACHINARE

(Energiee ce intervin în proces)

Autorul (anul)	Relatii	Notatii
B. Becke (1962)	<p>Randamentul procesului:</p> $\eta_p = \frac{W_u}{W_u + W_t} ; W_t \gg W_u$ <p>Randamentul operatiei:</p> $\eta_o = \frac{W_u + W_t}{W_u + W_t + W_i}$ <p>Randamentul mecanic:</p> $\eta_m = \frac{W_u + W_t + W_i}{W}$ <p>Randamentul total:</p> $\eta = \frac{W_u}{W} = \eta_p \cdot \eta_o \cdot \eta_m$	<p><math>W = W_u + W_t + W_i - W_e</math>, energiile ce intervin în procesul de fragmentare, <math>W_u</math> = energia utilă (pentru rupe și creare de suprafață nouă, egală cu 8.8), <math>W_t</math> = energia pentru performanță elastică și transformarea în căldură, <math>W_i</math> = energia termică degajată, <math>W_e</math> = energia consumată pentru frecările interne,</p>
H. Rose, D. Evans (1956)	<p>Randamentul morii:</p> $\eta = \frac{W_s \cdot \frac{s}{t}}{W}$	<p><math>W_s</math> = consumul de energie pe unitate de suprafață specifică, <math>s</math> = suprafață specifică nouă creată în timpul <math>t</math>, <math>W</math> = consumul total de putere al morii;</p>
H. Kumpf (1968)	<p>Randamentul mecanic al frânciunilor granulare și lighe:</p> $\eta' = W_s \cdot \frac{ds}{dw} = k \cdot s$ <p>Randamentul mecanic al diferențelor adreafinilor granulare:</p> $\eta'' = W_s \cdot \frac{ds}{dw} = f(s)$ <p>Randamentul mecanic colectiv a frânciunilor granulare:</p> $\eta_{12} = W_s \cdot \frac{s_2 - s_1}{w} = \frac{s_2 - s_1}{f^2 ds}$	<p><math>W_s</math> = energia pe suprafață, <math>s</math> = suprafață specifică, <math>w</math> = consumul specific de energie <math>k</math> = constantă (apătudinea la moruire),</p>
R. S. Charles, J. A. Holmes	<p>Randamentul mecanic:</p> $\eta_m = k \cdot s^n$	<p><math>k</math> = constantă (experimentală), <math>n</math> = exponent, pozitiv sau negativ (pentru <math>n=0</math> → Rittinger),</p>
Kenneth, Schellinger	<p>Randamentul termocinetice (determinat în laborator):</p> $\eta_t = \frac{W_e - Q}{W_e} \cdot 100$	<p><math>W_e</math> = puterea de energie cinetică (in kJ), <math>Q</math> = transferul de căldură de la moară (in kJ),</p>

## TEORII "CLASICE" ALE MAGNETIZĂRII

Autorul (anul) Observații	Relații"	Notări
<u>Rittinger (1887)</u> Teoria „superfetei”, confirmată de Gross, Zimmerman (1930), Kwong (1949), etc.	$W = k_1 \left( \frac{1}{D} - \frac{1}{d} \right) = k_1 \frac{n-1}{D}$ $S = B \cdot W$	$W$ = energie consumată $S$ = suprafata specifică (cu creștere) $D, d$ = dimensiunile granelor (înălțime și depășire măruntare) $B$ = cotațiunea la mărire. $n = \frac{D}{d}$ , raport de reducere. $k_1$ = constantă.
<u>Kick (1935)</u> Teoria „volumului”, preconizată de Kirpicev (1874).	$W = k_2 \cdot \log \frac{D}{d} = k_2 \cdot \log n$	$k_2$ = constantă
<u>F.Bond (1951)</u> Teoria „a freio”	$W = k_3 \left( \frac{1}{D} - \frac{1}{d} \right) = k_3 \sqrt{\frac{n-1}{D}}$ $W = W_0 \left( \sqrt{\frac{100}{k_{30}}} - \sqrt{\frac{100}{k_{30f}}} \right)$  $W_i = \frac{k_3}{\sqrt{100}} ; W_t = 10 \cdot W_i \sqrt{\frac{1}{D}}$ $W_i = \frac{W}{10} \cdot \frac{\sqrt{D} \cdot \sqrt{d}}{\sqrt{10} - \sqrt{d}} =$ $= W \cdot \frac{\sqrt{n}}{\sqrt{n}-1} \cdot \sqrt{\frac{d}{100}}$	$k_3, W$ - constante $k_{30}, k_{30f}$ - dimensiuni caracteristice ale particulelor, pentru care obține o frecare de 8 pînă la o situație stată. $W_i$ - cotațiunea la reducere (work index).
<u>R.J.Ciorles (1957)</u> Relație generală în formă diferențială sugerată de Walker (1937).	$dW = - C \frac{dx}{x^n}$  Cazuri particolare: $n=2 \rightarrow$ Rittinger $n=1 \rightarrow$ Kick $n=1,5 \rightarrow$ F.Bond	$C$ = constantă $x$ = dimensiunea granelor $n$ = exponent.

RELATII INTRE ENERGIA CONSUMATA  
PENTRU MAINTINIRE SI SUPRAFATA STABILICA  
REZULTATIV DIN ENERGIALE GRANULARE, SI. ETC.

Autor/teoriu	Relatii	Notari
Schuhmann (1951) formula generala	$W = C d^{-n} k \left( \frac{1}{D_{36,8}} - \frac{1}{D_{36,0}} \right)$	$k$ = constanta $D_{36,8}$ , $D_{36,0}$ = din condensatorice si lor pentru core h $v_1$ , $v_2$ = raporturi rite mici peste dimensiunile tice si acestea e
B. G. S. (1962) Aplicare statistica la formula lui Schuhmann pe baza raporturilor granulaire Rosin-Rammler	$W = k \left( \frac{v_2}{d_{36,8}} - \frac{v_1}{D_{36,0}} \right)$	$k$ = constanta. $D_{36,8}$ , $d_{36,8}$ = din condensatorice si lor pentru core h $v_1$ , $v_2$ = raporturi rite mici peste dimensiunile tice si acestea e
M. Rittinger (1927) introduce noțiunea de „aglomerare” opti- zând relația lui Rittinger la morfologie.	$S = (1-A)^{\beta t} \cdot (S_0 + d) - d$ $\beta = \alpha d^3$ ; $d = \frac{B \cdot W}{\log(1-A)}$ $A = 1 - \frac{1}{e^t D \cdot d^n}$ ; $t = \frac{T \cdot g}{3 \cdot p \cdot n}$	$A$ = optitudinea la ( $0 < A < 1$ ) $B$ = optitudinea $k$ $S_0$ = suprafața spa- țiu $D$ = diametrul inter- ior $t$ = unghiatul me- rior de mări $T$ , $g$ = greutatea si tătoarea corpului cindare $n$ = turcia mă- rii $b$ = mărfante $e$ = numărul e
Sverdrup si alii Relatii bazata pe teoria lui F. Bond.	$W = W_0 \left[ \left( \frac{k_m}{k_m} \right)^{n'} - \left( \frac{100}{k_m} \right)^{n'} \right]$ cu particular: $n' = 0,5$ ; $k_m = k_{00} \rightarrow F. Bond$	$n' = 0,8 \dots 1,3$ , expo- $\log \frac{k_m}{k_m} = \frac{1}{n'} \left( \log \frac{k_{00}}{k_m} + \log k_{00} + k \right)$
Wang (1950) După legea lui Kick	$W = k \cdot \frac{P^2}{E \cdot E} \cdot \frac{(n-1)(n+2)}{n}$	$k$ = factor de prof. $P$ = esfertul de com- $E$ = greutatea si modulul de se- al materialul $n = \frac{P}{E}$ , raport de
S.A. Holmes (1957) După legile lui Kick si F. Bond.	$W = W_0 \left[ 1 - \left( \frac{1}{n} \right)^r \right] \cdot \left( \frac{100}{d} \right)^r$ cu particular: $r = 1 \rightarrow Rittinger$	$n$ = raport de re- $r$ = exponent de $d$ = dimensiunea morfologică.
Kieserott (1957) Relatii variante la fiecare avansare	$W = k \cdot s^2$	$k$ = constanta
C. Dimitrescu (1955) formula bazata pe teoria lui Rittinger, tinand seama de aglomerare.	$S = S_0 - (S_0 - S_0) e^{-A \cdot W}$	$S_0$ = suprafața spa- țiu limită (maximă) $A$ = optitudine la $S_0$ = suprafața spa-

"RELATII ENERGETICE PE VIND MĂSUNTAREA."

Autorul (anul) Observații	Relație	Notări
<b>Griifith (1909)</b> <i>Cu rezultatul forțelor exterioare, energia de deformare elastică (<math>W_e</math>) se transformă în energie liberă de suprafață (<math>W_s</math>).</i>	$\frac{\partial W_e}{\partial l} \geq \frac{\partial W_s}{\partial l}$  1) $l > l_G$ → fisura se propaga 2) $l < l_G$ → fisura discontinuă 3) $l = l_G$ → fisura incipientă	$l$ = lungimea fisurii (la egalitatea relației devine "Griifith")
<b>H. Dugdale (1932)</b>	$\Sigma W = 2W_s + \frac{dW_s}{dl}$	$EW$ = energia de extindere a fisurii/sumă a energiei absorbite de rezistență la tensiuni interne în puncte cu efecte și creșterea recăzătorilor chimici $W_c$ = energia cinetică $l$ = lungimea fisurii
<b>Mittag (1953), Ruyk, Langemann (1963)</b> <i>Teoria termoelastică confirmată de incercările lui Mittag (1953), Ruyk, Langemann (1963)</i>	$W_c + W_i = N \cdot Q$	$W_c$ = energia cinetică $W_i$ = energia corespunzătoare căldurii interne. $Q$ = căldura produsă prin mărirea unei $N$ = constantă termocinetica cu o unitate de măsură
<b>Gibay și Sibille (1964)</b> <i>Energia liberei moartăi</i>	$W_{op} - W_{oa} = W_{cm} \cdot \eta_m$	$W_{op}$ = energia asociată producătorului $W_{oa}$ = energia asociată alimentatorii $W_{cm}$ = energia consumată de moară $\eta_m$ = randamentul mecanic al moarii

tabelul 6), Ecoudero Sains, Rebindor, Tetsuo Tanaka, S.O. Isafel, Ecoudero Sains (21) încreșterea ai combina ponderat legile lui Mitter-ger și Kick-Kirpicov, în relație :

$$w = k_1 \left( \frac{1}{d} - \frac{1}{d_0} \right) + k_2 \ln \frac{d}{d_0} \quad (2)$$

unde  $k_1$  și  $k_2$  sunt constante care depind de natura materialului.

Rebindor (22-23) consideră ca lege generală a măruntării o relație de bază a teoriei generale a dispersării și enunță :

$$w_{sp} = w_1 + n \cdot k_{21} \frac{\sigma^2}{E^2} + k_{22} \cdot \Delta S \cdot \alpha \quad (3)$$

în care :

$w_{sp}$  = consumul specific de energie pentru măruntire  
(daN m/cm<sup>2</sup>);

$w_1$  = consumul "propriu" de energie al ut. lajului de  
măruntare;

n = numărul de cicluri de deformare a materialului  
până la măruntare;

$k_{21}, k_{22}$  = coeficienți de proporționalitate;

$\sigma_g$  = rezistență la rupere care condiționează procesul  
(daN/cm<sup>2</sup>);

E = modulul de elasticitate al materialului;

$\Delta S$  = suprafață specifică nou creată (cm<sup>2</sup>/cm<sup>3</sup>);

$\alpha = \left( \frac{S_2}{S_1} \right)^n$  gradul de dispersie al măruntării;

$S_1, S_2$  = suprafețe particulelor inițiate și după măruntare;

n = exponent care depinde de condițiile măruntării (pen-  
tru măruntare fină  $n > 0$ ).

Pernind de la formula lui Charles, Tatase Tanaka (23) propune relație probabilistică :

$$\frac{ds}{da} = c_1 d^\alpha = k \cdot P_c \cdot P_V \cdot P_a \cdot d^\alpha \quad (4)$$

unde :

$c_1, \alpha, k$  = constante ;

$P_c$  = probabilitatea elocirii particulelor;

$P_V$  = probabilitatea depășirii rezistenței de rupere ;

$P_a$  = probabilitatea propagării fisurii ;

$d$  = dimensiunea medie a particulelor.

In sfîrșit, o relație asemănătoare ca formă cu cea calorimetrică, propune Littag (24) :

$$S = G \cdot V_m \cdot d \quad (5)$$

în care :

$G$  = cantitatea materialului mărunțit ;

$V_m$  = rezistență specifică medie de mărunțire ;

$d$  = dimensiunea medie finală a granulelor.

Teoriile energetice privind mărunțirea (v. tabelul 7) nu elucidează suficient condițiile propagării fisurii, mecanismele de solicitare, energiile mecanice și nemecanice de intervenție în proces, etc. În legătură cu energia de suprafață, însăși această noțiune - care e valabilă și misurabilă în lichide - nu este pentru solide decât o mărime extrapolată făcând apel la legăturile ionice menționate care, la limite solid-șer, produc tensiuni de suprafață. O serie de cercetători s-au străduit să calculeze și să determine experimental ( $I_w$ ), pe cele fizice, valoriile acestei energii de suprafață pentru diverse materiale, însă diferențele obținute sunt de două ordine de mărime, ceea ce probabili că studiul teoretic este în

această direcție încă de departe de rezultate.

## V. STUDIU PARALELUL TEHNIC CA ECHIPAMENT AZAL

### COMPARATIVA ECHIPAMENTURILOR DE MĂRUNȚIRE

#### 1. Caracterizare generală și clasificare

Complexitatea fenomenului ruperii solidelor, în care intervin numerovi factori legați astăzi de proprietățile lor macroscopice și, și de cele de structură, a făcut ca mulți cercetători să se orienteze către definirea unor caracteristici noi ale materialelor, legate direct de specificul operației de mărunțire. Închind din 1972, Kumpf (26) a făcut propunerea de a se aduna toți parametrii specifi ci ai materialelor, din punct de vedere al tehnicii fragmentării, într-un atlas similar cu cel existent pentru proprietățile termo-tehnice, astfel ca pentru orice nou material să fie posibilă caracterizarea comportării sale pe baza unui număr mic de probe de laborator. Cu toate că au existat o serie de încercări pe această linie, cercetătorii din acest domeniu nu au reușit încă să se pună de comun acord asupra acestor parametrii, pe de o parte datorită insuficienței datelor experimentale, iar pe de altă parte datorită modului diferit de abordare a problemei.

Din multitudinea acestor încercări se desprinde ea realitatea de faptă, care suscita și unele controverse și disensiuni, dar care se pare că este cea mai completă clasificare facută pînă în prezent. Împărtășind (27), parametrii tehnici care caracterizează comportarea materialelor la mărunțire sunt :

- mărimi care se pot determina prin mărunțirea materialelor în condiții determinate și enume : efortul specific de rupere, probabilitatea de rapere, funcția granulometrică, energia specifică

de măruntire, apătudinea la aglomerare, creșterea suprafeței specifice, eficiența fragmentării;

- mărimi care se determină cu ajutorul de incercare în laborator, în condiții preseritte, cum sunt apătudinea la adincere și gradul de concentrare.

Clasificarea citată este susceptibilă de obiectivare, în special dacă se reflectă concepția conform căreia apătudinea la adincere determinată în laborator poate fi tratată ca o mărime caracteristică independentă, ca valoare absolută, în timp ce o analiză mai profunză a acestui parametru conduce la necesitatea de a se stabili și modul în care el se corelează cu performanțele utilajelor industriale care urmează să se dimensioneze pe baza lui. Totuși, lista propusă de asemenea cuprinde toate caracteristicile importante din punct de vedere al tehnicii măruntirii, astfel că ea poate constitui o bază de orientare asupra problematicii respective, cu observația că gradul de concentrare nu prezintă interes imediat în domeniul măcinării din industrie alimentului.

Pă de altă parte trebuie subliniat faptul că Kumpf (26) a subliniat cu hotărâre faptul că baza aproximării proceselor de măruntire o constituie studiul măruntirii granulelor individuale.

Avinđ în vedere aceste considerante, și autorul a început cercetările sale prin efectuarea unui studiu asupra comportării granulelor individuale de clincher la diferite solicitări mecanice (compresiune lenta și șoc dinamic).

## 2. Studiul comportării granulelor individuale de clincher la compresiune lenta

2.1. Notiunea de măruntire a unor granule individuale de clincher definește solicitarea la compresiune (sau șoc dinamic)

și dis rugoare particulelor care nu se imobilizează reciproc. Cu urmare, în cursul solicitării granelor individuale nu intervin pierderi de energie determinată frecările dintre particole, ceea ce rezultă îndivizualele consumuri constante minime de energie, cantitate reprezentată limita maximă, teoretică, pînă la care se poate acționa pentru reducerea energiei electrice la sărurire.

În industrie, acest gen de solicitare se realizează în cunoaștere și mori cu valuri - la măcinarea granelor - și în mori cu impact - la suranțierea fină a materialelor.

2.2. Prin compresiune lentă se definește solicitarea la core vitata de evans a platoului presei este cel mult de ordinul centimetrilor pe secundă.

2.3. Materiale folosite. Întru studiul comportării granelor individuale de clincher la compresiune lentă s-au folosit două tipuri de clincher :

- clincher tip I - un clincher portland normal (de la T.C. - 40)
- clincher tip II - un clincher feroportland, de tip ferrari (de la C.L.A. Neugidis)

Compoziția chimică oxidică - exprimată prin moduli - precum și cea mineralogică - determinată prin microscopie optică și analiză rентгенografică - pentru cele două tipuri de clinchere folosite, sunt prezentate în tabelul 8.

Tabloul nr. 8

Compoziție chimică	Clincher I	Clincher II
M <sub>Si</sub>	1,53	1,90
M <sub>Al</sub>	2,03	0,88
S <sub>K</sub>	98,28	93,63

Compoziție mineralogică	Clincher I	Clincher II
C <sub>3</sub> S	50 - 65	20 - 55
C <sub>2</sub> S	10	20 - 25
C <sub>3</sub> A	15	5
C <sub>4</sub> AF	10	15 - 20

2.4. Apurarea milisec.  Într-o solicitare granulelor individuale de clincher la compresiune lentică s-a utilizat o presă tip M 10/90, caracterizată printr-o rigiditate avansată, precăsionată de un electromotor de 3,3 kW, cu tură reglabilă. Experimentările s-au executat la viteze minime de swan a plateauului, respectiv de 1 mm/min.

2.5. Mediu de lucru. Încercările la compresiune lentică s-au efectuat pe granule individuale de clincher, avind diametrul cuprins între 1 mm și 7 mm. Între fiecare din aceste dimensiuni s-au făcut încercări pe cîte 50 de granule individuale. Granulele de clincher au fost spălate cu etanol, uscate în stovă la 50°C, cin-

ărăite și sujuse la compresione. După sfârșire, s-a ales de fiecare dată (cu ajutorul unei stereosupe), fragmentul cel mai mare, care, apoi, s-a spălat cu metanol, s-a uscat în etuvă la  $50^{\circ}\text{C}$  și s-a cintărit.

2.6. Jesuitaile continute. În urma încercărilor la compresiune lenta a granulelor individuale de clincher s-au obținut seturi de date pe baza cărora s-a analizat și stabilit următoarele corelații :

- corelație dintre forță de sfârșire, diametrul granulei și raportul de reducere :

$$Y = f_1(d, i)$$

- corelație dintre energia specifică de săvârșire, diametrul granulei și raportul de reducere :

$$W = f_2(d, i)$$

#### 2.6.1. Notatii folosite

a) Dintre mese :

$M_1$  = masa inițială a granulei de clincher, (g)

$M_2$  = masa celor mai mari frații rezultate în urma sfârșirii granulei de masă  $M_1$ , (g) ;

$M^*$  = masa granulei "bază de reportare", luate convențional, ca fiind masa minimă din setul de date luate în considerare, (g) ;

b) Dintre diametre :

$d_1$  = diametrul inițial, al granulei de clincher de masă  $M_1$  (mm) ;

$d_2$  = diametrul corespondător frației de masă  $M_2$  (mm) ;

✓.

$d^*$  = diametrul granulei "bază de reportare", corespondator granulei de masă  $m^*$ , (mm) ;

c) Pentru celelalte mărimi principale :

$F$  = forță de sfârșinare, reprezentată forță la care se realizează sfârșinarea primară a granulei, (N);

$l$  = deplasarea platoului presei, corespondător forței de sfârșinare  $F$ , (mm);

d) Pentru celelalte mărimi, deriveate, obținute prin calcul :

$i$  = raportul de reducere, definit de raportul diametru diametrul inițial al granulei și diametrul freacțiunii celei mai mari, rezultato în urma sfârșinării primare :

$$i = \frac{d_1}{d_2} \quad (6)$$

$i'$  = "diametrul edimensionat", definit ca raportul de similaritate geometrică între diametrul inițial al granulei de elipsă și diametrul granulei "bază de reportare" :

$$i' = \frac{d_1}{d_2} \quad (7)$$

$w$  = energie specifică de zărunțire a fiecărui grana

$$w = 1,4 \cdot 10^{-2} \frac{f_{sh}}{d_1} \quad (\text{km/t}) \quad (8)$$

2.6.2. Diametru abaterilor. Abaterile care influențează procesul, încrind un cimp relativ intins de împrijeștiere a rezultatelor sunt neuniformitățile geometrice a granulelor și variația

densității acestora.

Pentru eliminarea distorsiunilor introduse de forme geometrice sau aleș pentru determinari granulele apropiate ca formă de sfere, iar pentru eliminarea erorilor introduse de variație densității, raportul de reducere î s-a făcut calculat ca report al măsurilor granulei inițiale, respectiv al celei mai mari fracțiuni rezultate după scărificare (considerindu-se că în interiorul granulei densitatea și este constantă):

$$1 = \frac{d_1}{d_2} = \left( \frac{4\pi}{\pi \cdot \rho} \cdot \frac{\pi \cdot \rho}{4\pi_2} \right)^{1/3} = \left( \frac{4}{\pi_2} \right)^{1/3} \quad (6')$$

Pentru eliminarea abaterilor introduse de variația "pe verticală" (mai importantă), s-a recurt la un "diamebru adimensional", un report de similaritate geometrică, calculat după relația :

$$1' = \frac{d_1}{d_2} = \left( \frac{4}{\pi^2} \right)^{1/3} \quad (7')$$

Pentru mărirea preciziei de observare și ordonare a măsurelor s-a recurt la intervale de grupări mici. În scopul alegării optime a intervalului de grupare după diametrul granulei, s-a folosit formula lui L. D. Sturges :

$$k = \frac{x_{\max} - x_{\min}}{1 + 3,322 \lg n} \quad (8)$$

unde :

$k$  = mărimea intervalului de grupare (mm);

$x_{\max}$  = mărimea maximă a variabilei de grupare ( $x_{\max} = 7$  mm);

$x_{\min}$  = mărimea minimă a variabilei de grupare ( $x_{\min} = 1$  mm);

$n$  = număr de valori (deșteptă pentru fiecare lot)

a/.

Inlocuindu-se datele in relația (7) se obține  
 $k = 1,01 \text{ mm}$ . Dacă ales  $k = 1,0 \text{ mm}$ , acestea fiind și diferențe din-  
tre dimensiunile a două ciururi consecutive folosite la sortare.

2.6.3. Stabilirea corelației dintre forță de sfârșinare,  
diametrul granulei și raportul de reducere. Plecându-se de la  
considerările precedente (v. pct. 2.6.2), în locul relației

$$F = f(d, i)$$

s-a obținut o relație de forma :

$$F = f(i^*, i)$$

Sau obținut relații pentru următoarele valori (conside-  
rate fixe și caracterizând sfârșinarea primară) ale raportului de  
reducere :  $i_1 = 1,1; i_2 = 1,2; i_3 = 1,3; i_4 = 1,4; i_5 = 1,5$  și  
 $i_6 = 1,6$ .

În cadrul grupărilor după aceste valori ale raportului de  
reducere, variația acestuia (calculată după coeficientul de varia-  
ție  $v_f$ ) a fost sub 20 %, generând grupări cu grad de omogenitate  
ridicat.

Pentru calculul de regresie multiplă, avându-se în vedere  
 că fenomenul este, prim estențe se stochastic, s-a căutat eliminarea  
 factorului aleator prin medierea valorilor forței de sfârșinare  
 pentru aceeași valoare sau pentru valori apropiate ale "di-  
ametrului edimensional"  $i^*$ . În cazul abaterilor granolare, per-  
 chile respective de pește au fost eliminate prin metoda statis-  
 tico-categorice, cu creșterea corespondătoare a coeficientului de  
 regresie.

Contra puterii în evidență a factorului sistematic neles-  
 ter în procesul studiat, valorilor mediate ale forței de sfârșinare  
 și ale "diametrului edimensional"  $i^*$  li s-a atașat frecvența de

de apariție f.

Rezultatele obținute în cadrul încercărilor efectuate pe cele două tipuri de clinchere sunt prezentate în tabelele 9-10 și în figurile 2-3.

Se constată, în cazul clincherului de tip I că, pe intervalul studiat, variația forței de sfârșinare funcție de "diametrul adimensional" (pentru fiecare raport ce reducere) relevă, din punct de vedere structural, o ușoară dar sistematică regiune de inflexiune. Din punct de vedere analitic se impune constatarea că variația se poate încadra, cu o foarte bună aproximare, într-o formula de tipul :

$$y = ax^b$$

Pentru clincherul de tip II, la observațiile ce au mai scăzută cît intervalul de variație al "diametrului adimensional" este mai mare și, ca urmare, se accentuează regiunea de inflexiune.

Colonindu-se datele din tabelele 9 și 10 și aplicând metoda celor mai mici patrate, se obțin rezultatelor din tabelul 11.

Fiecare a exprimă variația forței de sfârșinare  $\rightarrow$  propus, afișat și verificat forma

$$x_1 = a(1^*)^b$$

Tabelul nr.11

rapor- tul de reduce- re	Clincher tip I		Clincher tip II	
	Expresia anali- tică a forței de sfârșinare, F	Coeffi- cient de co- rela- ție(β)	Expresia anali- tică a forței de sfârșinare, F	Coeffi- cient de co- rela- ție(β)
1,1	$F=157,04(1^{\circ})^{1,19}$	97,07	$F=97,40(1^{\circ})^{1,08}$	95,71
1,2	$F=130,55(1^{\circ})^{1,49}$	98,36	$F=84,60(1^{\circ})^{1,27}$	93,78
1,3	$F=128,21(1^{\circ})^{1,61}$	99,21	$F=108,70(1^{\circ})^{1,17}$	93,57
1,4	$F=125,09(1^{\circ})^{1,64}$	98,34	$F=86,40(1^{\circ})^{1,20}$	97,02
1,5	$F=124,55(1^{\circ})^{1,76}$	98,75	$F=117,20(1^{\circ})^{1,40}$	98,46
1,6	$F=124,57(1^{\circ})^{2,05}$	99,40	$F=106,80(1^{\circ})^{1,77}$	99,90

Analizindu-se datele referitoare la clincherul de tip I se remarcă creșterea parametrilor și bătății cu creșterea raportului de reducere  $i$ . Prin corelație acestor parametrii cu valorile corespondătoare ale raportului de reducere  $i$ , prin același caleul de regresie se obține formă generală a variației forței de sfârșinare cu raportul de reducere și "diametrul sămânțional":

$$F = 138(1)^{-0,25}(1^{\circ})^{1,11}(i)^{1,25} \quad (II) \quad (1e)$$

Avându-se în vedere faptul că punctul graniță "bață de

Tabel centralizator curgintelor variabile concentrator F, c' și d  
la diferite valori c și c' - cîlincher

- 38 -

Tabelul nr. 9

Nr.	c = 1,1				c = 1,2				c = 1,3				c = 1,4				c = 1,5				c = 1,6				
	c	F	c'	d	c	F	c'	d	c	F	c'	d	c	F	c'	d	c	F	c'	d	c	F	c'	d	f.
-	[N]	-	[mm]	-	[N]	-	[mm]	-	[N]	-	[mm]	-	[N]	-	[mm]	-	[N]	-	[mm]	-	[N]	-	[mm]	-	
1	180	1,10	2,00	1	156,5	1,10	2,00	3	150	1,10	2,00	5	151	1,10	2,00	5	160	1,10	2,00	5	120	1,00	1,82	1	
2	175	1,76	3,20	1	205	1,41	2,57	2	245,5	1,43	2,60	4	230,6	1,45	2,70	8	210	1,40	2,55	3	255	1,35	2,48	2	
3	490	2,60	4,73	2	350	1,80	3,20	3	245	1,53	2,79	2	447,7	2,14	3,90	13	220	1,50	2,73	4	263	1,45	2,64	3	
4	570	2,72	4,95	1	490	2,41	4,39	4	287	1,74	3,17	2	574	2,60	4,73	5	280	1,60	3,91	1	430	1,65	3,39	1	
5	600	3,23	5,08	1	465	2,81	5,12	4	320	1,80	3,28	3	600	2,70	4,92	2	370	1,80	3,28	4					
6					545	3,35	6,10	2	550	2,55	4,64	6	910	3,20	5,83	2	575	2,40	4,37	2					
7									600	2,65	4,83	6					660	2,52	4,59	1					
8										745	2,75	5,01	2					720	2,62	4,77	5				
9										920	2,88	5,24	1					790	2,74	4,99	4	-	-	-	
10										572	2,96	5,52	6												

la diferențe valori de la c - cinciște

Nr.	c = 1,1				c = 1,2				c = 1,3				c = 1,4				c = 1,5				
	F	c'	d	f																	
[N]	- [mm]	- [H]	- [mm]	[N]	- [mm]	- [H]	- [mm]	[N]	- [mm]	- [H]	- [mm]	[N]	- [mm]	- [H]	- [mm]	[N]	- [mm]	- [H]	- [mm]	[N]	
1	195	1,65	2,77	2	93,33	1,18	1,74	2	114	1,11	1,62	6	112	1,1	1,62	4	136	1,1	1,62	6	130
2	290	2,97	4,37	1	100	1,76	2,59	2	236	1,65	2,43	5	126	1,2	1,77	3	236	1,75	2,58	3	150
3	332	4,07	6,00	1	155	1,85	2,73	2	210	1,6	2,65	2	206	1,75	2,58	6	300	1,93	2,84	2	270
4					232	2,06	3,06	5	275	2,15	3,168	6	216	2,12	3,12	8	363	2,1	3,09	3	1050
5					312	3	4,42	4	385	3	4,42	6	250	3	4,42	2	500	3,1	4,57	3	
6					432	3,8	5,60	4	440	3,6	5,3	2	320	3,4	5,01	1	620	3,6	5,3	1	
7					445	4	5,89	4	542	4	5,39	8	375	3,54	5,22	2	1250	4,3	6,3	1	
8					570	4,1	6,04	3					486	3,7	5,45	3					
9					600	6,41	6,50	1					580	3,85	5,67	3					
10													583	4,1	6,04	3					
11													555	4,3	6,34	2					

Fig. 2.. Variația parametrilor  $F$ ,  $i'$  și  $d$  la diferite valori ale lui  $i$  - clincher I

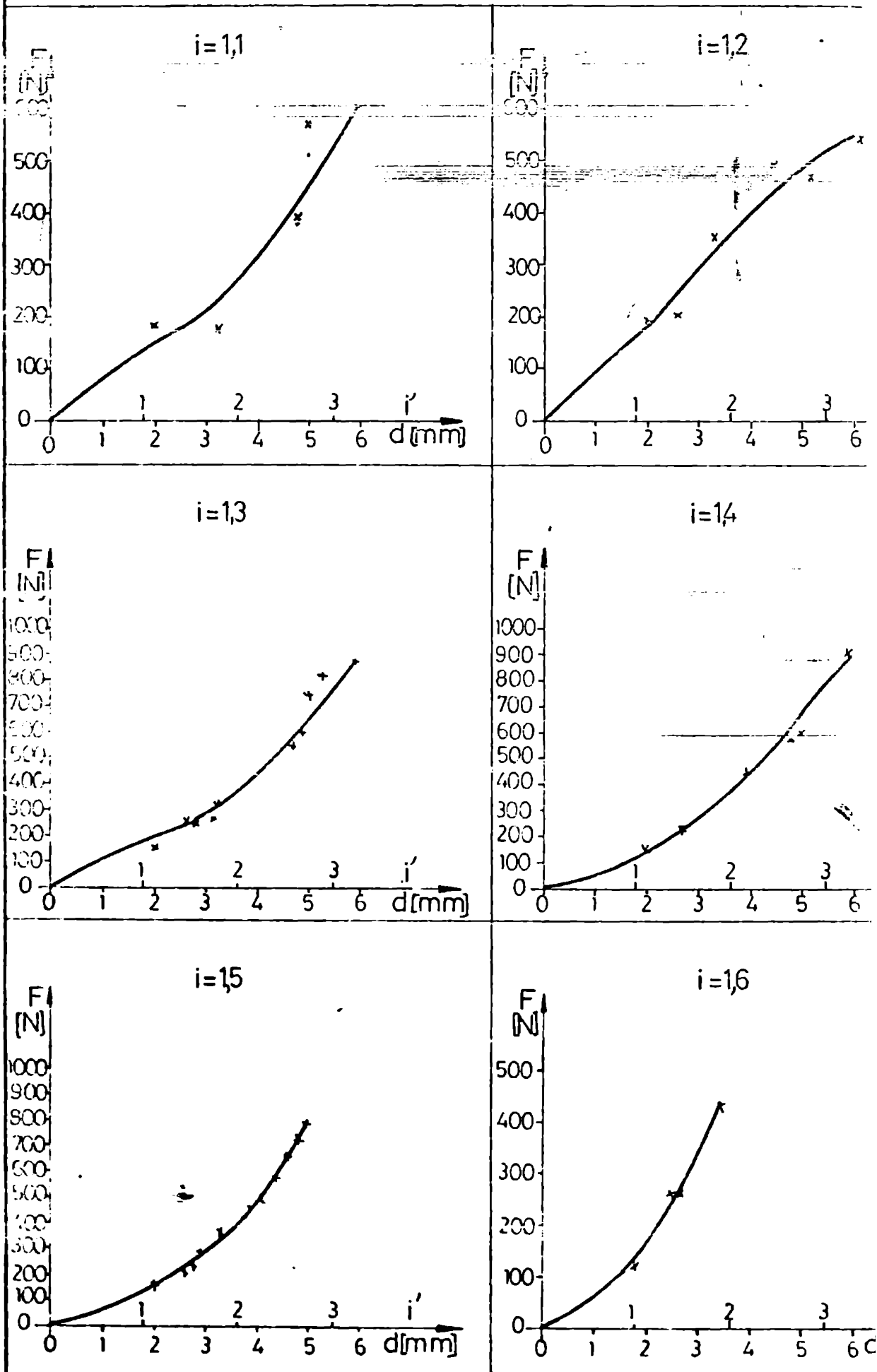
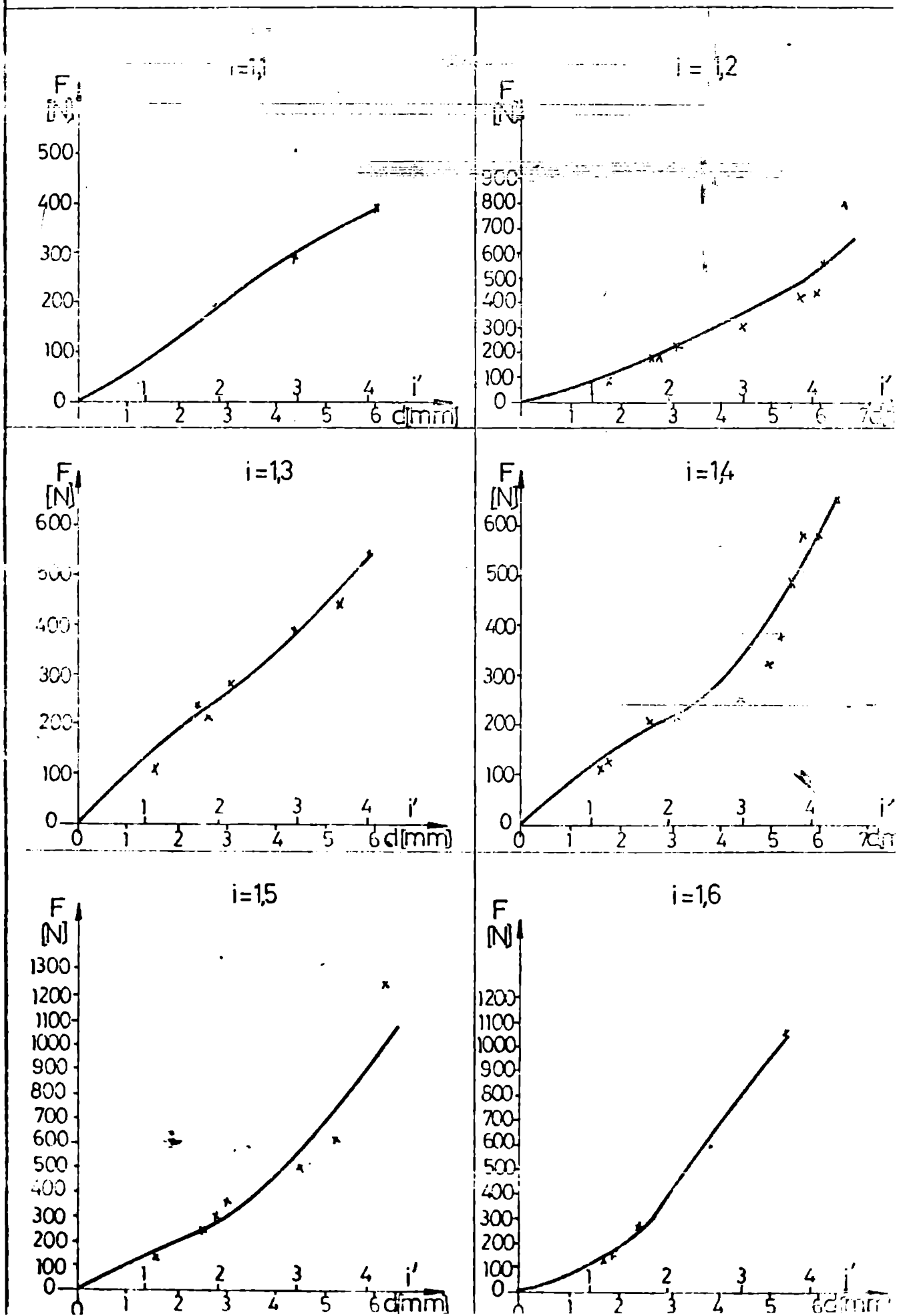


Fig. 3. Variația parametrilor  $F$ ,  $i'$  și  $d$  la diferite valori ale lui  $i$  - clincher II



reportare"  $F^B = 120$  și  $i^B = 1,6$  și efectuindu-se calculele respective se obține forma generalizată de variație a forței de atracție:

$$\frac{F}{F^B} = \left( \frac{1}{i^B} \right)^{-0,25} \left( \frac{d}{d^B} \right)^{1,56} \left( \frac{i}{i^B} \right)^{1,25} \quad (11)$$

Procedindu-se în mod similar cu clincherul de tip II se obține forma generală de variație:

$$F = 82,7 (i)^{0,7} (i^B)^{0,93} (i)^{0,74} \quad (12)$$

folosindu-se și în acest caz astfel de referințe la grupa "Baza de Reportare", respectiv  $F^B = 110 N$  și  $i^B = 1,2$  și efectuindu-se calculele respective se obține forma generalizată pentru acest tip de clincher:

$$\left( \frac{F}{F^B} \right) = \left( \frac{1}{i^B} \right)^{0,67} \left( \frac{d}{d^B} \right)^{1,2} \left( \frac{i}{i^B} \right)^{0,75} \quad (13)$$

Cu aceste relații se pot construi nomograme, în coordonate logaritmice, pe axa ordonată fiind  $\frac{F}{F^B}$  iar pe abscisă  $i^B = \frac{d}{d^B}$  obținându-se urepte cu ordinale la origine și puncte funcție de raportul  $(i/i^B)$  (v. fig. 4-5).

Suprafețele  $\frac{F}{F^B} = f \left[ \left( \frac{1}{i^B} \right), \left( \frac{d}{d^B} \right) \right]$  obținute în urma încercărilor pe cele două tipuri de clincher sunt prezentate în fig. 6-7. Aceste suprafețe au fost create pe baza analizării detelor experimentale prin metoda celor mai bici patrate.

Concluzionindu-se cele prezentate înăscum se poate de o relație de similaritate generală care să permită calcularea forței de atracție, pentru un tip orocare de clincher, în funcție de diametrul grunției și de raportul de reducere, plecind de

la următoarele date cunoscute :

$$\left(\frac{F}{F_0}\right) = \left(\frac{1}{\frac{d}{d_0}}\right)^n \cdot \left(\frac{d}{d_0}\right)^n \left(\frac{\frac{1}{L}}{\frac{1}{L_0}}\right)^p \quad (14)$$

unde :

$\frac{F}{F_0}$  = raport de similitudine al forțelor de mărimire ;

$\frac{d}{d_0}$  = raport de similitudine al raportelor de reducere ;

$\frac{1}{L}$  = raport de similitudine geometrică ;

$n, p$  = puteri ale raportelor de similitudine, depindând de tipul de clincher utilizat. În cazul celor două tipuri de clincher utilizate, valorile acestora sunt prezentate în tabelul nr. 12.

Tabelul nr. 12

.....

Clincher tip I      Clincher tip II  
.....

$n = -0,25$

$n = 0,67$

$n = 1,56$

$n = 1,20$

$p = 1,25$

$p = 0,75$

.....

2.6.4. Varietatea energiei specifice de măritire funcție de dimensiunea granulară și de raportul de reducere. Energiea specifică de măritire se calculează cu formula (8), observind că la mărimire, variația forței  $F$  este foarte rapidă, cauză în condițiile deplasării extrem de lente a poziționului presei (1 mm/min). De urmare nu se poate face planimetrarea suprafeței integralei

$$w = \int_0^l \frac{F}{2T} dl$$

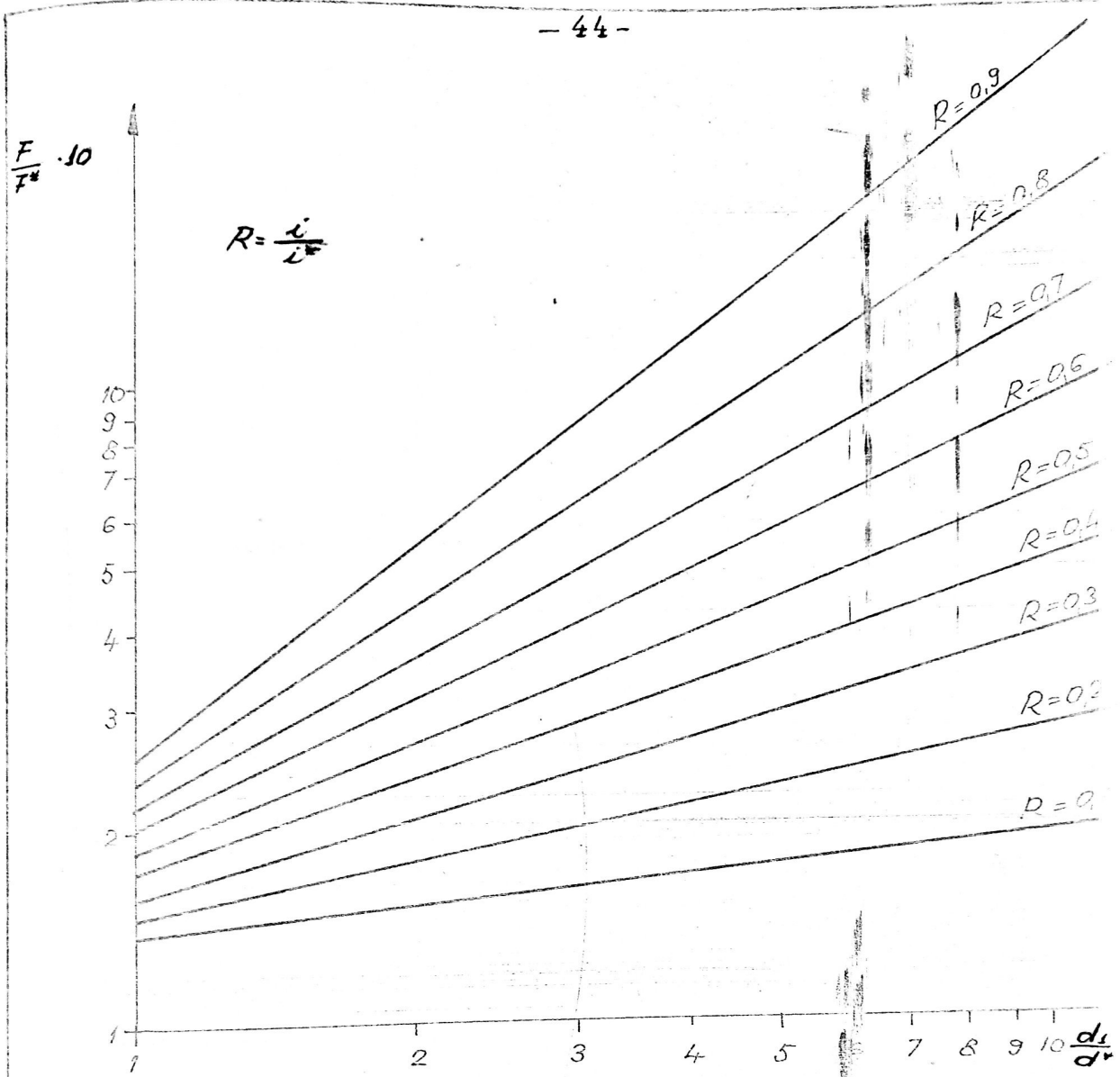


Fig. 4. - Nomogramă pentru determinarea forței de sfârșinare pe baza similarității (inchiner I)

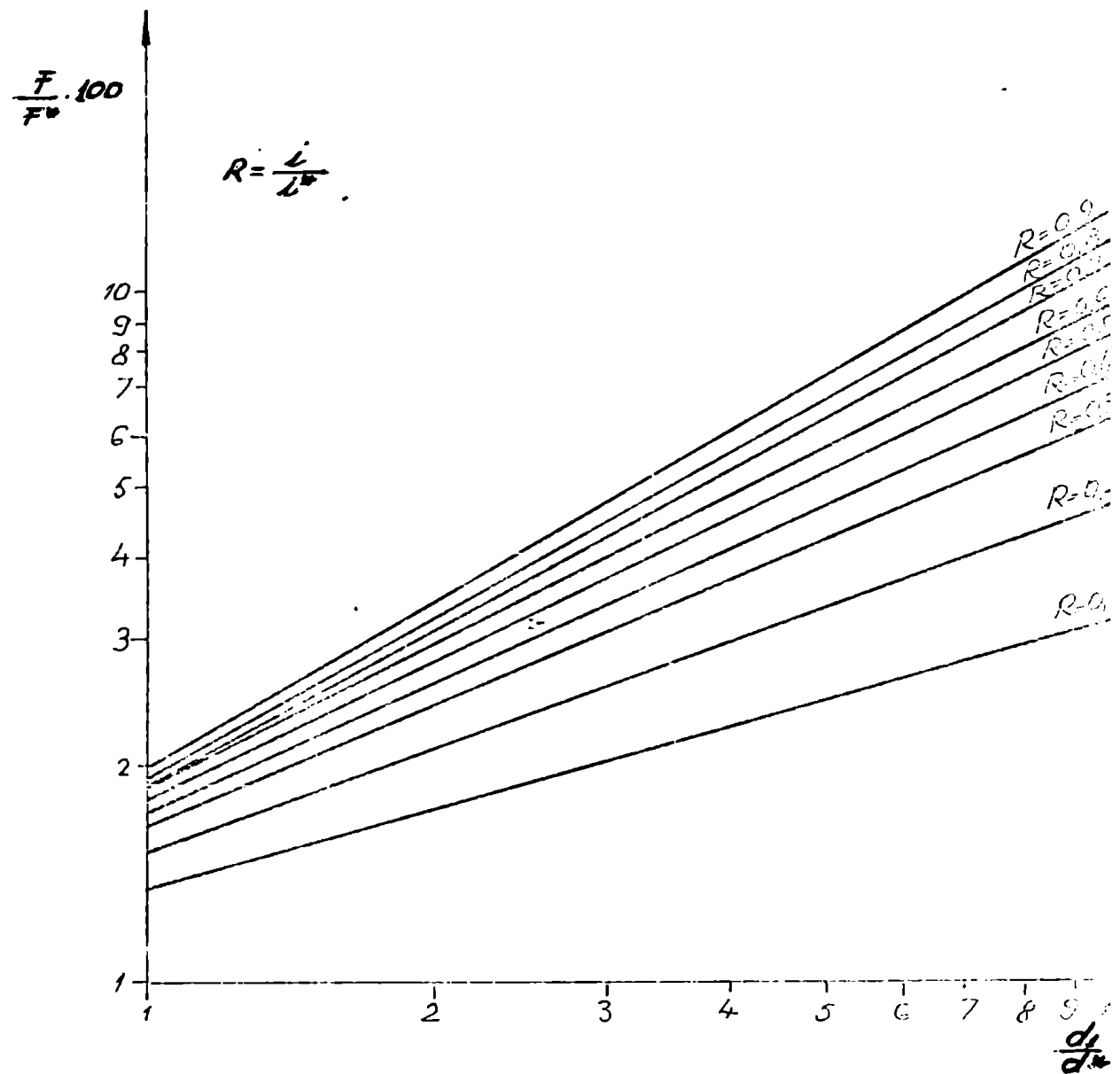


Fig 5. Nomogramă pt. determinarea forței de efort impar pe la  
împreună cu dimensiunile (chincher II)

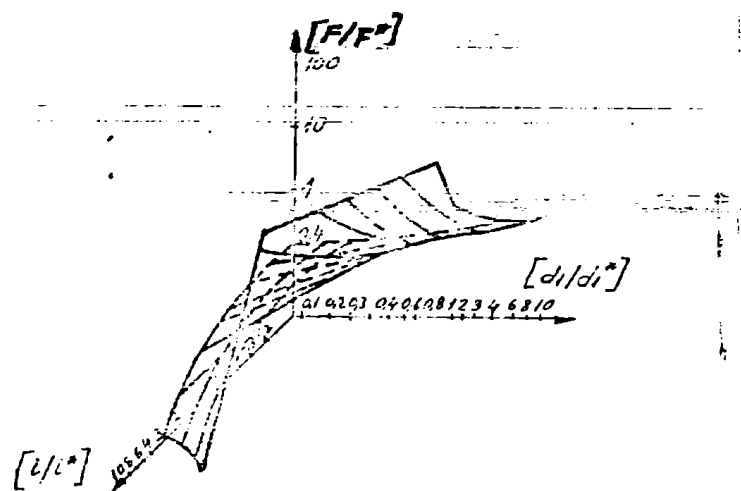


Fig. 6 - Reprezentarea suprafetei

$$\frac{F}{F^*} = f\left(\frac{i}{i^*}, \frac{d_1}{d_1^*}\right) - \text{clincher I}$$

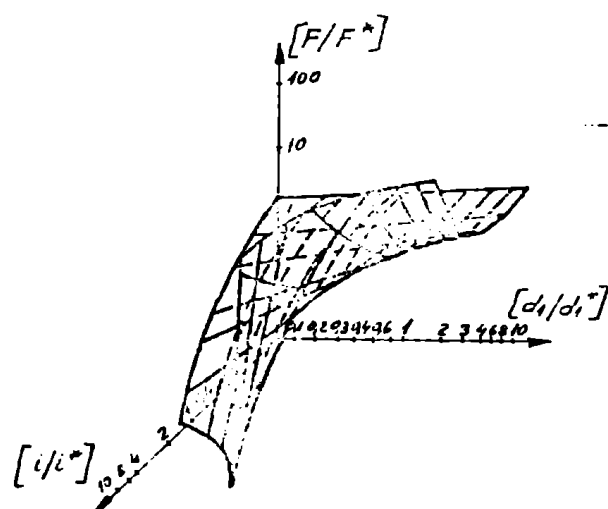


Fig. 7 - Reprezentarea suprafetei

$$\frac{F}{F^*} = f\left(\frac{i}{i^*}, \frac{d_1}{d_1^*}\right) - \text{clincher II}$$

ei se ia, cu o bună aproximare, suprafața egală cu cea a unui triunghi având baza egală cu l și înălțimea cu  $\tau$ .

Pe baza datelor obținute (v.fig.8-9) se pot face următoarele constatări :

- energia specifică de mărunțire este dependență de diametrul granulei, scăzând puternic cu creșterea acestuia și tinsind spre o apătisare la valori mari ale diametrului ;

- variația energiei specifice de mărunțire cu raportul de reducere este mai puțin pronunțată, observîndu-se totuși o accentuare a curburii și o creștere importantă a valorilor energiei specifice de mărunțire în domeniul diametrelor mici, cu creșterea raportului de reducere. În domeniul diametrelor mari ( $d=7$ mm), energia specifică de mărunțire, pentru fiecare raport de reducere este sensibil constantă ;

- variația densității clincherului induce doar o variație în structura fină a corelației energiei specifice de mărunțire cu diametrul granulei.

2.6. j. Concluzii la studiul comportării granulelor individuale de clincher la compresiune lentică. Pe baze experimentărilor efectuate se pot trage următoarele concluzii :

- forța de strânsare depinde în mod botăritor de mărimea granulei, variație ce dă sensul general al curbei ce descrie fenomenul și de raportul de reducere, care dă panta generală a curbei, eventualele puncte de inflexiune - structura fină a variației - putind fi puse pe seama variațiilor de densitate în interiorul setului de încercări;

- energia specifică de mărunțire este strins legată de dimensiunea granulei, crescând puternic odată cu adăugarea acesteia.

Influența raportului de reducere asupra valorii energiei specifice de mîrungare este mai pronunțată în domeniul dimensiunilor granulare mici.

### 3. Studiu comportării granulelor individuale

#### de clincher la soc dinamic

3.1. În cadrul studiului comportării granulelor individuale de clincher la soc dinamic s-au folosit nouă tipuri de clincher, acoperind practic întregă gama de clinchere fabricate în România (v. tabelul 13).

Tabelul nr. 13

Nr. ser.	Tipul clin- cherului	Compoziție chimică					Caracteristici modulare	
		SiO <sub>2</sub>	Al <sub>2</sub> O <sub>3</sub>	Fe <sub>2</sub> O <sub>3</sub>	CaO	M <sub>Si</sub>	M <sub>Al</sub>	%
1.	Clincher tip I (Tg. Jiu I)	21,23	6,20	6,71	65,70	1,63	0,94	92,98
2.	Clincher tip II (Tg. Jiu II)	20,69	6,44	7,89	64,98	1,44	0,82	92,12
3.	Clincher tip III (Tg. Jiu III)	20,22	6,57	5,85	66,36	1,51	0,96	93,68
4.	Clincher tip IV (Tg. Jiu)	19,19	6,27	9,86	64,68	1,19	0,64	93,78
5.	Clincher tip V (Alegd)	22,55	4,82	5,70	66,93	2,14	0,85	92,40
6.	Clincher tip VI (Jova)	22,16	6,73	3,81	67,30	2,10	1,77	93,32
7.	Clincher tip VII (C 1-2)	20,15	7,57	3,73	60,59	1,70	2,03	101,8
8.	Clincher tip VIII (Fieni C7)	20,03	7,66	4,61	67,48	1,61	1,70	99,22
9.	Clincher tip IX (Medgidia)	21,17	5,43	9,78	69,66	1,25	0,93	92,32

Fig. 8

Variatia parametrilor  $w$ ,  $i$  și  $d$  la  
diferite valori ale lui  $i$  - clincher-I -

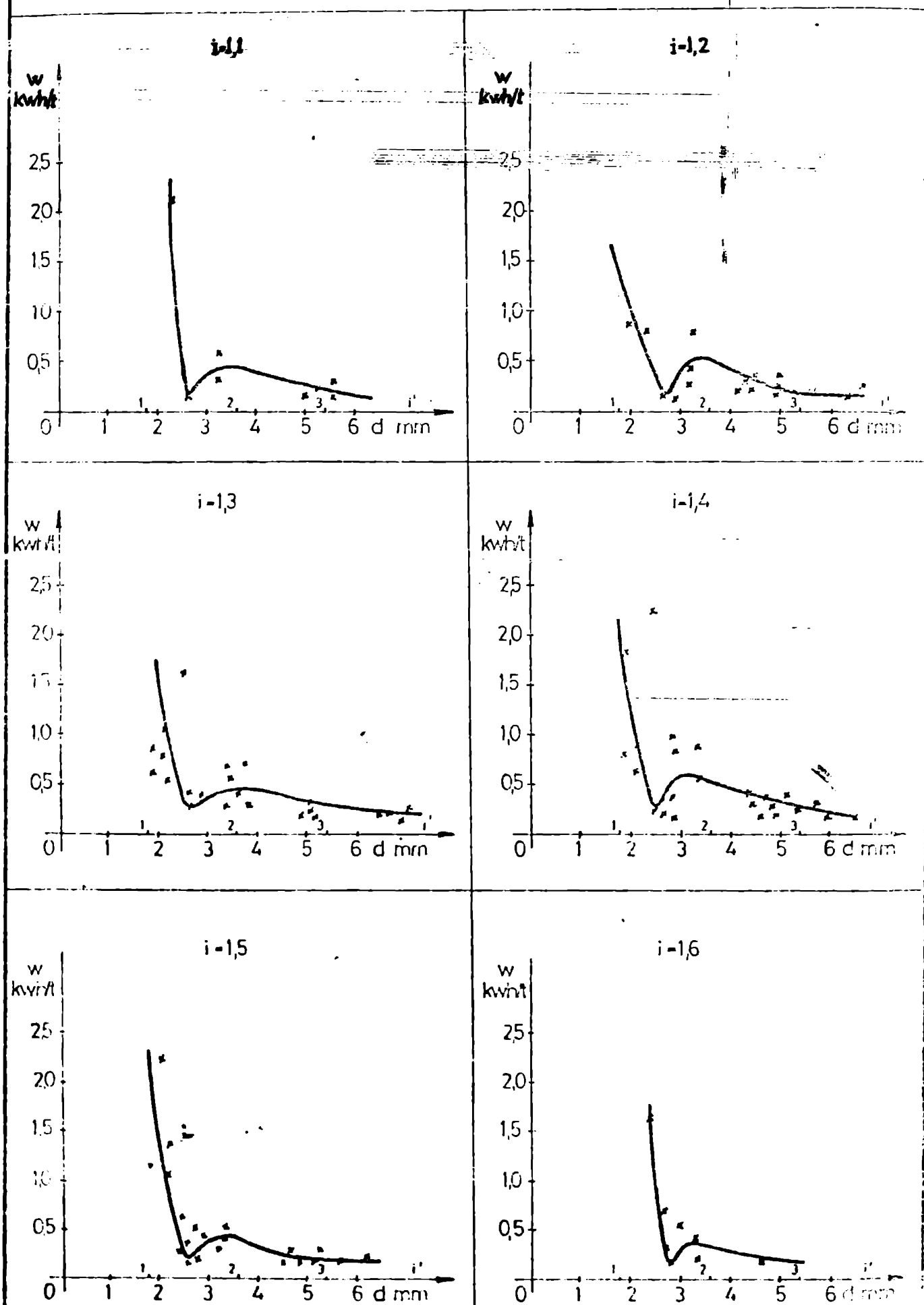
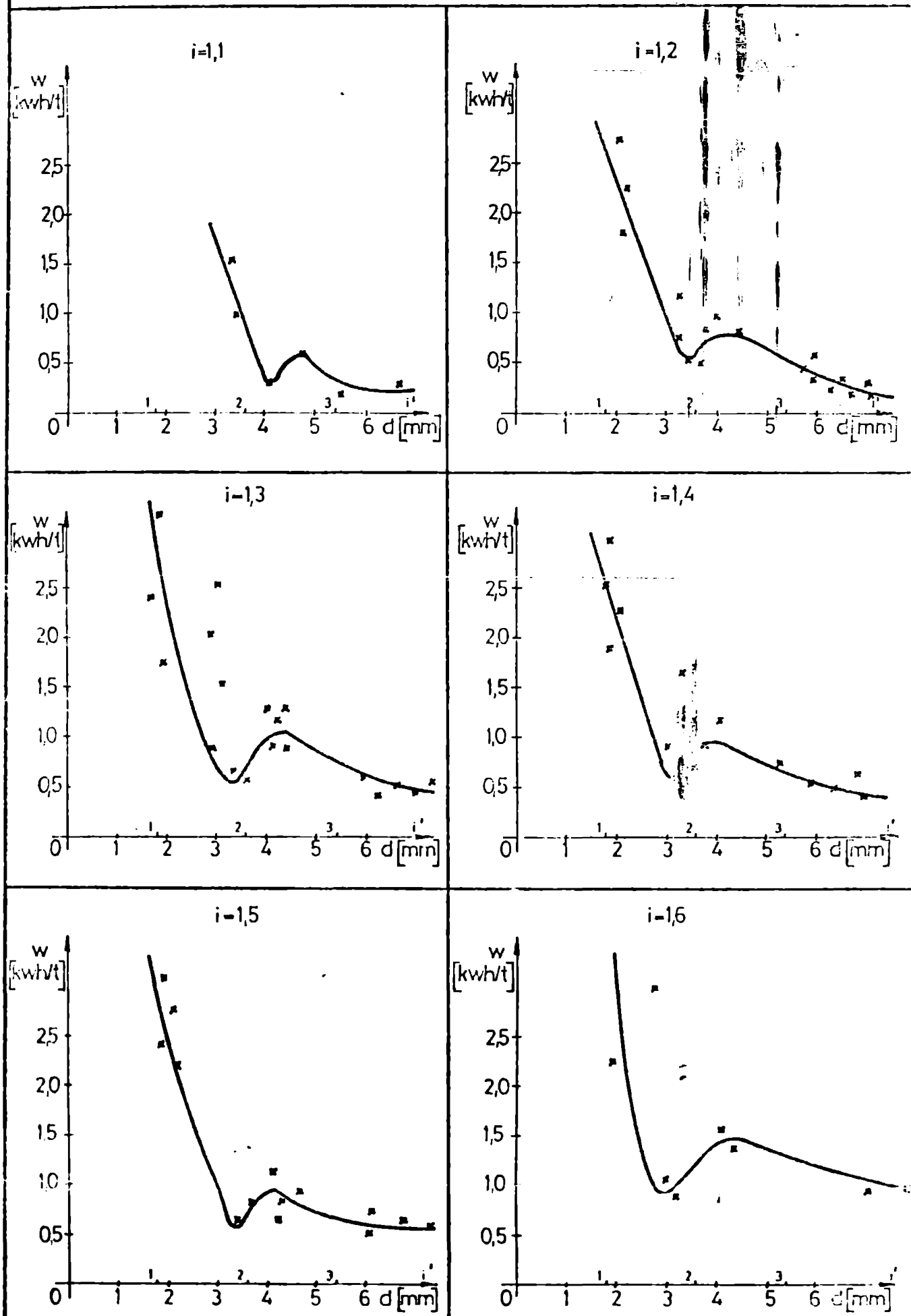


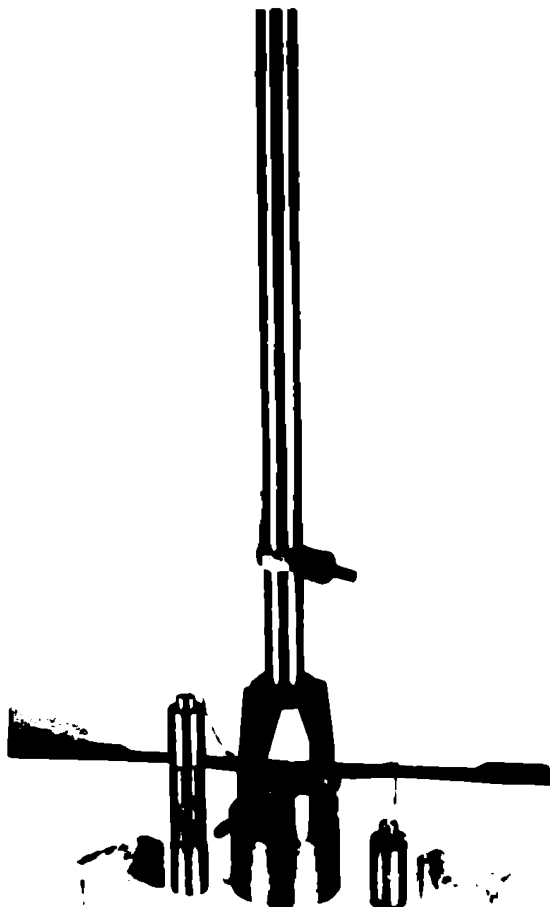
Fig 9

<sup>-50-</sup>  
Variația parametrilor  $w$ ,  $i$  și  $d$  la  
diferite valori ale lui  $i$ -clincher-II



3.2. Aparatura utilizată. Granulele de clincher au fost expuse solicitării la șoc dinamic cu ajutorul dispozitivului din fig. 10. Acesta permite modificarea greutății berbecului precum și a înălțimii de cădere a acestuia.

Fig.10 - Dispozitiv de soli-  
citate la șoc di-  
namic.



Prin variația greutății berbecului, precum și a înălțimii de cădere a acestuia s-a aplicat energie de șoc de 0,245 mJ; 0,490 mJ; 0,955 mJ; 0,732 mJ; 1,470 mJ și 1,905 mJ.

3.3. rezultate. Asupra granulelor de clincher (luate în loturi de cîte 100) s-a aplicat energie de șoc variind între 0,245 - 1,905 mJ. În urma fiecărui solicitări s-a recuperat intervalul fracțiunile zeronite în scopul tracării curvelor  $T = f(\phi)$ .

3.4. Rezultate obținute. În cadrul încercărilor la șoc dinamic s-a obținut seturi de date de unde cărora s-a analizat și

stabilit corelația dintre energia de soc și factorul R - un parametru caracteristic procesului de mărunțire.

### 3.4.1. Notări folosite :

T = treccerea prin diverse ciururi, (s) ;

Q = dimensiunea ochiului ciurului, (mm) ;

$\Delta$  = energia de soc aplicată (Nm) ;

$S_{\text{g}}$  = integralele curbelor granulometrice rezultate în urma sfărindării granulelor de clincher, ( $\text{mm}^2$ ) ;

$S_g$  = suprafața totală pentru domeniul granulometric respectiv ( $\text{mm}^2$ ) ;

R = parametru caracteristic pentru procesul de mărunțire, definit prin relație :

$$R = \frac{S_g}{S}$$

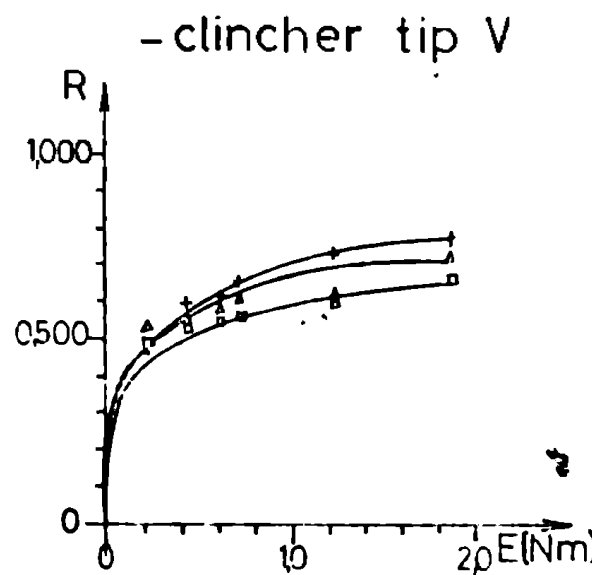
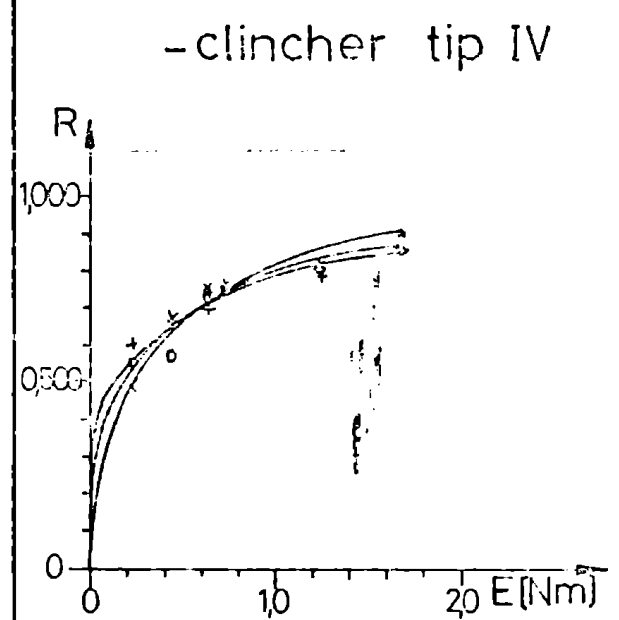
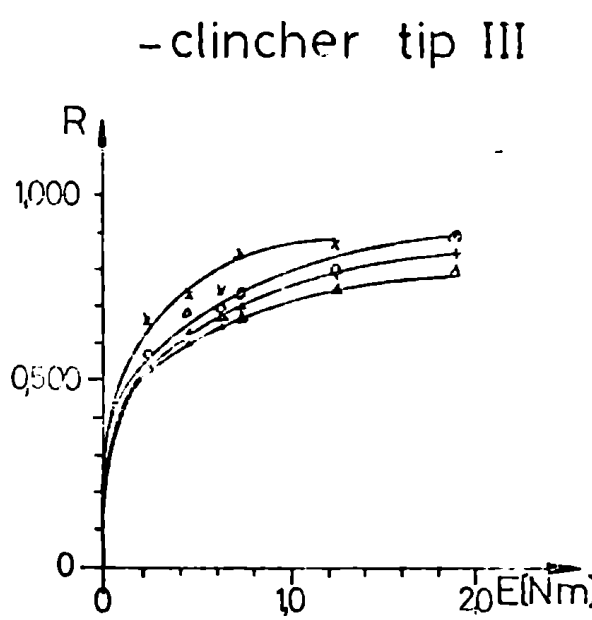
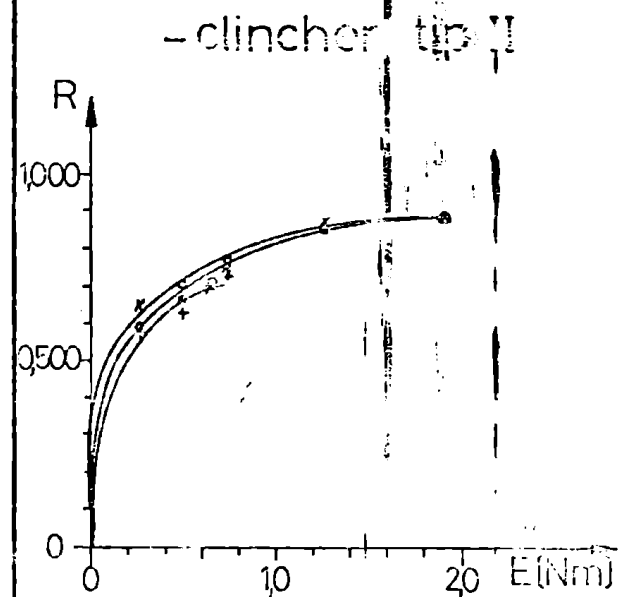
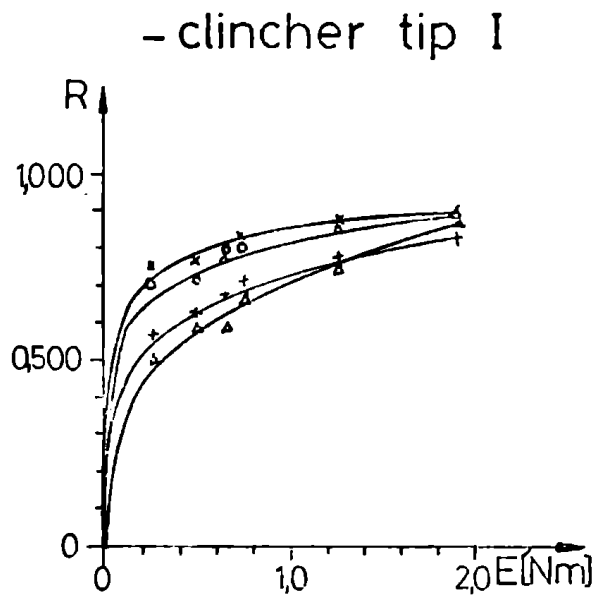
3.4.2. Stabilirea corelației dintre energia de soc și factorul R. Pe baza datelor experimentale s-a calculat factorul R pentru fiecare tip de clincher, la fiecare granulație și la fiecare valoare a energiei de soc aplicată. Variația factorului R în funcție de energia de soc aplicată este prezentată în fig. II-12.

Din examinarea datelor experimentale se constată că :

- în general, factorul R crește cu creșterea dimensiunilor granulare, iar, pentru aceeași dimensiune, crește cu creșterea energiei de soc aplicată;

- creșterea acestora a valorilor factorului R este mult mai accentuată în domeniul energiilor mici, marind o tendință asimptotică corespunzătoare unui nivel energetic de peste 1,20 Nm. Această tendință se situează, în raport cu dimensiunile granulelor în jurul valorii de 0,850 mm, la frecvențele mici (4-6 mm) și 0,650 mm, la

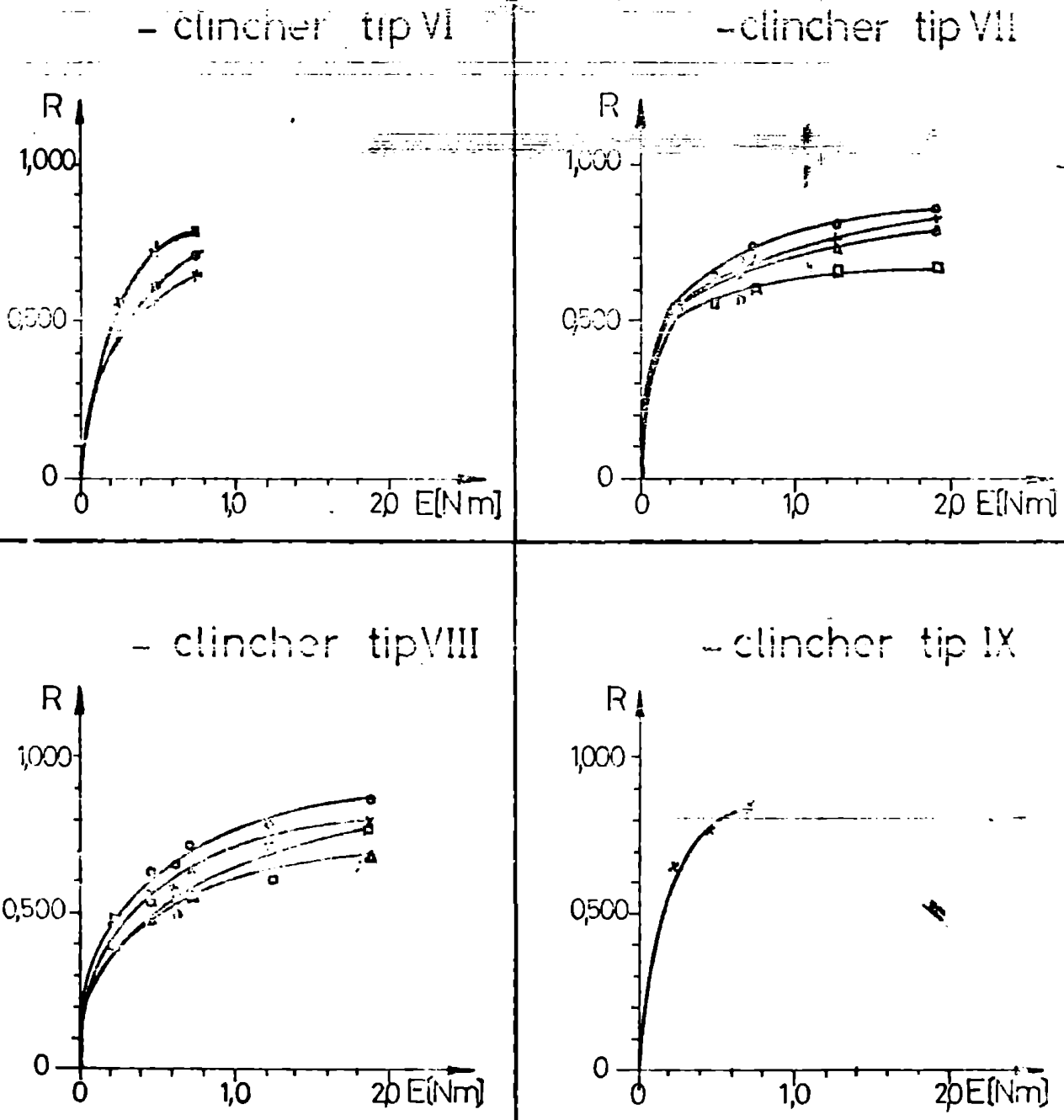
Fig. 11 Variația factorului R în funcție de energia de șoc aplicată



Legendă

- × × × Fracțiunea 4-5 mm
- ○ ○ Fracțiunea 5-6 mm
- ++ + Fracțiunea 6-7 mm
- △ △ △ Fracțiunea 7-8 mm
- □ □ Fracțiunea 8-10 mm

Fig. 12 Variația factorului R în funcție de energia de soc aplicată



### Legendă

- |   |   |   |                    |
|---|---|---|--------------------|
| × | × | × | Fracțiunea 4-5 mm  |
| ○ | ○ | ○ | Fracțiunea 5-6 mm  |
| + | + | + | Fracțiunea 6-7 mm  |
| △ | △ | △ | Fracțiunea 7-8 mm  |
| □ | □ | □ | Fracțiunea 8-10 mm |

fracțiunile mari ( $\geq 10$  mm). Reste nivelul de 1,20 din variația factorului R este mai puțin semnificativă în raport cu proveniența clincherelor, remarcindu-se în unele cazuri și o accentuată îngustare a limitelor de variație.

— apare deci evidență concluzie, cu implicații practice, că nu este justificată expășirea unui anumit nivel al energiei de soc, valoarea acestuia prăg depindând de dimensiunile granulelor și de compoziția clincherului.

Rezultându-se doar datele experimentale să încercat să se stabilească expresia analitică a corelației dintre energia de soc și factorul R, corelație care s-a dovedit să fi următoare:

$$E = a R^b$$

Analizându-se, într-o primă etapă, influența granulației fiecărui tip de clincher utilizat să ajungă la expresiile matematice presentate în tabelul nr. 14.

Tabelul nr. 14

Tipul clincher-ului	Fracțiuni de granule				
	4-5 mm	5-6 mm	6-7 mm	7-8 mm	8-10 mm
I	1,22 R <sup>10,1</sup>	4,53 R <sup>7,6</sup>	4,84 R <sup>5,1</sup>	4,28 R <sup>4,0</sup>	-
II	3,19 R <sup>5,2</sup>	2,93 R <sup>4,6</sup>	3,60 R <sup>4,6</sup>	-	-
III	3,80 R <sup>6,2</sup>	3,53 R <sup>4,7</sup>	3,75 R <sup>4,3</sup>	3,49 R <sup>4,9</sup>	-
IV	2,06 R <sup>3,2</sup>	2,65 R <sup>3,7</sup>	4,46 R <sup>5,6</sup>	-	-
V	-	-	4,78 R <sup>4,2</sup>	16,6 R <sup>6,1</sup>	31,57 R <sup>6,7</sup>
VI	1,56 R <sup>3,2</sup>	2,22 R <sup>3,1</sup>	3,76 R <sup>3,6</sup>	-	-

	<sup>1</sup>	<sup>2</sup>	<sup>3</sup>	<sup>4</sup>	<sup>5</sup>
VII	-	$E = 2,92 R^{4,0}$	$E = 4,41 R^{4,7}$	$E = 6,64 R^{6,6}$	$E = 11,57 R^{7,5}$
VIII	-	$E = 2,72 R^{3,5}$	$E = 3,44 R^{3,1}$	$E = 6,11 R^{3,4}$	$E = 6,64 R^{6,6}$
IX	$E = 1,50 R^{4,2}$	-	-	-	-

În faza urătoare a cercetării s-a căutat să se elimine influența granulăției, pentru a se putea stabili corelația dintre energia de găs și factorul R în funcție de tipul de clincher. Expresiile analitice ale funcției  $E = f(R)$  sunt prezentate în tabelul nr. 15.

Tabelul nr. 15

Tipul clin- cheru- lui	Expresia funcției $E = f(R)$	Coefficient de corela- ție, ( $\bar{x}$ )
I	$E = 4,895 R^{6,2}$	98,710
II	$E = 3,040 R^{4,7}$	97,669
III	$E = 3,960 R^{5,0}$	99,918
IV	$E = 3,480 R^{4,7}$	97,575
V	$E = 12,86 R^{5,6}$	99,559
VI	$E = 12,310 R^{3,3}$	99,977
VII	$E = 6,060 R^{5,2}$	99,418
VIII	$E = 4,650 R^{3,6}$	99,454
IX	$E = 3,730 R^{5,3}$	99,667

Pe baza tuturor datelor experimentale s-a căutat, în final o expresie generală care să redă corelația dintre energia de găs și factorul R, găindu-se :

$$E = 2,94 R^{4,2} \quad (15)$$

## VII. STUDIU DINAMICII PROCESELOR DE MICINARE A CLINCHERULUI

### GRADUATORI LA VARIANTELE DE MACHETE DE LABORATOR

#### 1. Utilizarea de laborator folosita

Studiul dinamicii proceselor de micinare a clincherului se facut, in paralel, pe urmatoarele utilaje de laborator :

- moara inclinata ;
- moara de laborator ;
- moara orizontala, tip sand.

Caracteristicile celor trei mori folosite sunt :

a) Moara inclinata - are schema prezentata in Fig. 13 iar datele constructive in tabelul ur. I.

Tabelul ur. I.

Nr. crt.	Caracteristici tehnice	Unit.	Valori
<hr/>			
1.	diametrul interior al tubului morii	mm	250
2.	liniiere tubului morii	rade	15
3.	Numar de canere	buc.	1
4.	Volumul interior al morii	dm <sup>3</sup>	116,93
5.	Durariile ale copului morii	rot/min	42,0; 40,21 49,0; 36,21 70,0
6.	Motor electric :		
	- putere	kW	1,0
	- viteza	rot/min	1400

b) Mixer de laborator A 230 x 220 mm - a fost folosită pentru a se compara rezultatele obținute cu ce și cele obținute cu miera înclinată. Pentru a se putea compara rezultatele s-a ales o mieră similară ca diametru, volum interior, încărcătură de corpuri de săcinare și mără de material introdus, cu miera înclinată.

c) Miera orizontală, tip 2000 - a fost folosită deoarece este utilajul de laburitor unuia acceptat pe plan mondial pentru determinarea apătării la săcinare a climberului. Datele acestui mieri sunt prezentate în fig. 14, iar datele și tehnice în tabelul 17.

Tabelul nr. 17

Rez.	Caracteristici tehnice	Unit.	Valori
<hr/>			
1. Dimensiuni interioare :			
	- diametru	mm	305
	- lungime	mm	305
2.	Volum interior	dm <sup>3</sup>	22,5
3.	Țurății ale corpului mierii	rot/min	50,3; 60; 65; 70
4. Motor electric :			
	- putere	kW	0,75
	- turatie	rot/min	1500

#### Cu lărg de lucru

Acordarea proceselor de săcinare în cele trei utilaje de laburitor a fost studiată prin urmărire, în timp, a treccerii pe site

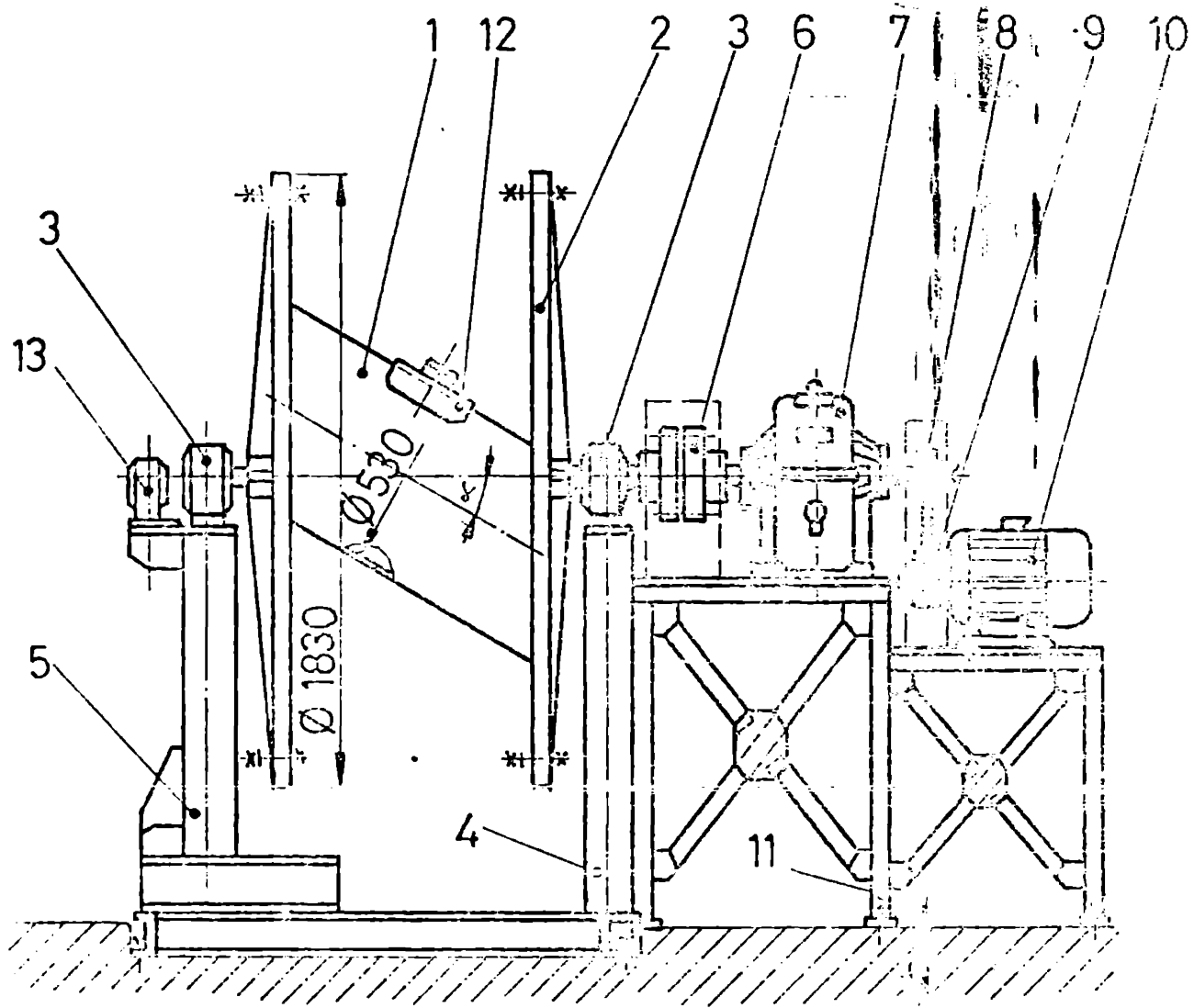
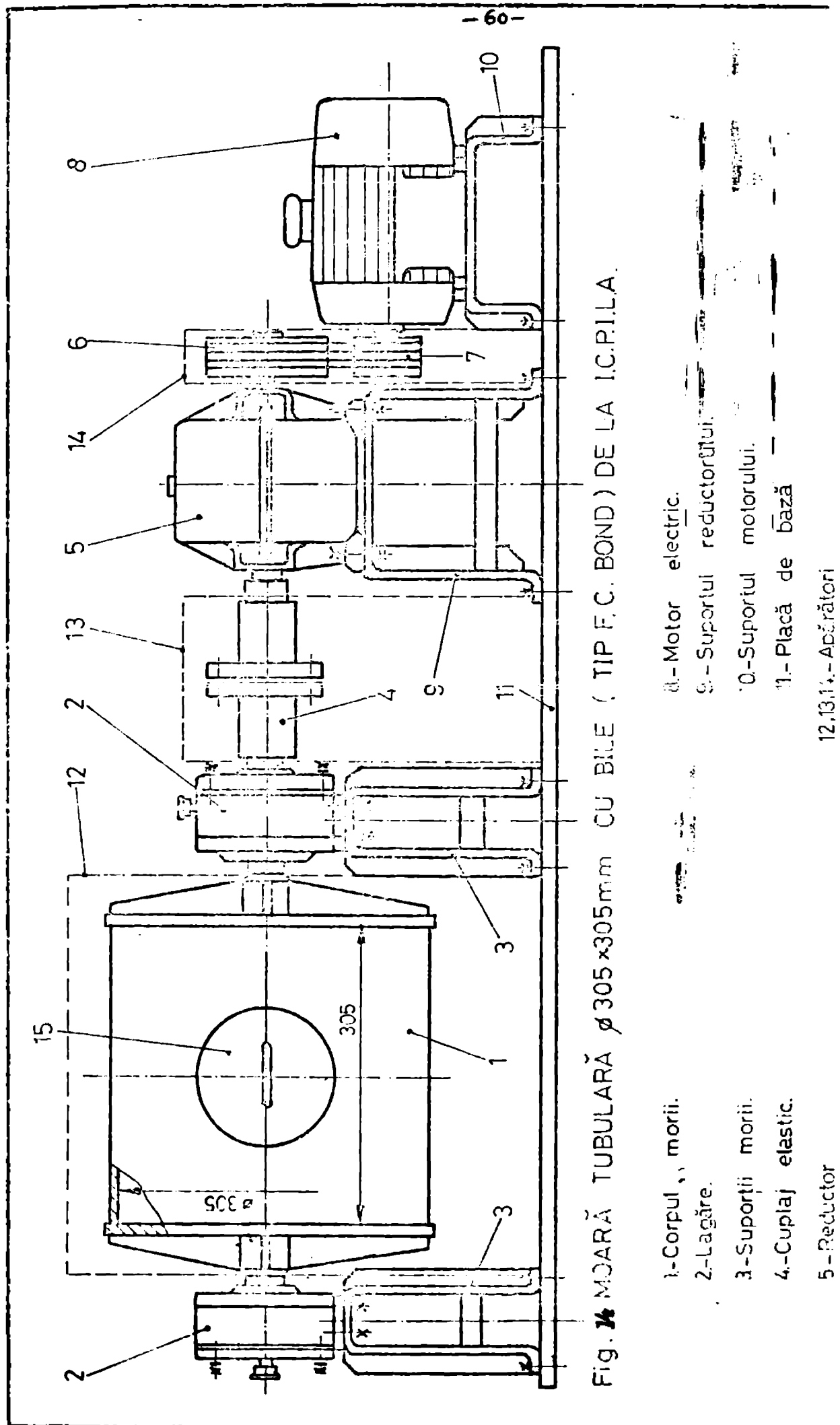


Fig.13 MOARA TUBULARĂ ÎNCLINATĂ DE LA I.C.P.I.L.A.

- |  |                                  |
|--|----------------------------------|
| 1 - Corpul tubular al morii înclinată. | 8 - Roată de curea trapezoidală  |
| 2 - Funduri cu volanți.                | 9 - Roată de curea trapezoidală. |
| 3 - Lagăre.                            | 10 - Motor electric.             |
| 4 - Suport fix                         | 11 - Cadru de susținere.         |
| 5 - Suport deplasabil.                 | 12 - Capac.                      |
| 6 - Cuplaj elastic.                    | 13 - Contor de turăfe.           |
| 7 - Reductor.                          |                                  |



-60-



de 0,09 mm. Pe baza rezultatelor obținute s-a calculat următorii parametri:

- cantitatea  $G_1$  de material măcinat de la începutul procesului :

$$G_1 = \frac{G_0 \cdot T}{t} \quad (16)$$

notării :

$G_0$  = cantitatea inițială de material introdus în moarcă (g) ;

$T$  = tracerea pe site de 0,09 mm (%),

$t$  = durată măcinării (min).

- cantitatea  $G_2$  de material măcinat în intervalul de timp  $t_0 - t_{n-1}$  :

$$G_2 = \frac{G_0 \cdot T_1}{t_1} - \frac{G_0 \cdot T_2}{t_2} = G_0 \left( \frac{T_1}{t_1} - \frac{T_2}{t_2} \right) \quad (17)$$

notării :

$T_1, T_2$  = tracere pe site de 0,09 mm la două momente successive ale măcinării, (%);

$t_1, t_2$  = durată successive ale măcinării, (min)

- viteză de măcinare a fracțiunii moi mari de 0,09 mm,  $v_1$  :

$$v_1 = \frac{G_1}{t_1} \quad (18)$$

- viteză de măcinare în intervalul de timp  $t_0 - t_{n-1}, v_2$  :

$$v_2 = \frac{G_2}{t_2} \quad (19)$$

notării :

$G_2$  = cantitatea de material măcinat între două momente successive ale măcinării (g)

$t_2$  = intervalul de timp considerat între două momente successive ale măcinării, (min).

### 3. REALIZAREA EXPERIMENTĂRILOR

În cadrul experimentărilor, studiul cinematicii măcinării eliochberului s-a făcut în următoarele condiții :

- în scara înclinată : s-a păstrat constantă masa încadraturii de material ( $G_0 = 20000$  g) și coeficientul de umplere cu cor puri de măcinare ( $\varphi = 25 \%$ ) și s-a variat viteza norii ( $n_1 = 42,0$  rot/min;  $n_2 = 48,5$  rot/min;  $n_3 = 49,5$  rot/min;  $n_4 = 56,0$  rot/min;  $n_5 = 70,0$  rot/min);

- în scara de laborator : s-a făcut măcinarea în condiții similare celor din scara înclinată ( $G_0 = 20000$  g,  $\varphi = 25 \%$  și  $n = 48,5$  rot/min);

- în scara Bondi : a) s-a păstrat constant coeficientul de umplere cu cor puri de măcinare ( $\varphi = 21 \%$ , respectiv  $\varphi = 32,5 \%$ ) și s-a variat masa încadraturii de material ( $G_0^1 = 1257$  g;  $G_0^2 = 2010$  g; și respectiv  $G_0^3 = 2482$  g);

b) s-a păstrat constantă masa încadraturii de material ( $G_0 = 1257$  g) și s-a variat coeficientul de umplere cu cor puri de măcinare a norii (20 %; 22,5 %; 25 %; 27,5 %; 30,0 %, 32,5 %).

### 4. REZULTATELE EXPERIMENTĂRILOR

Pe baza rezultatelor experimentărilor s-a intersectat stabilitatea următoarelor variații :

- variația vitezelor de adincere a frânturii mai mari de 0,09 mm în funcție de durata de măcinare :  $t_1 = v_1 (t)$  ;

- variație vitezei de măcinare pe parcursul procesului :

$$f_2 = v_2(t) ;$$

- variație vitezei de măcinare în cîteva momente ale procesului, în funcție de cantitatea de material măcinat de la începutul măcinării :  $f_3 = v_2(G_1) ;$

- variație vitezei de măcinare în cîteva momente ale procesului, în funcție de cantitatea de material măcinat în perioada respectivă :  $f_4 = v_2(G_2) ;$

- variație vitezei de măcinare a frântunii mai mari de 0,09 mm, în funcție de treierea prin sita de 0,09 mm :  $f_5 = v_1(t) ;$

- variație treierii prin sita de 0,09 mm, în funcție de durată măcinării :  $f_6 = T(t) ;$

- variație cantității de material măcinat, în funcție de durată procesului :  $f_7 = G_1(t).$

Acste variații, pentru cazuile cele mai reprezentative, sunt prezentate în fig. 15. Pe baza cazuilor experimentale, se pot trage următoarele concluzii :

- viteză de măcinare a frântunii mai mari de 0,09 mm, după ce atinge un maxim - în prima parte a măcinării - descrește cu tot ce avanarea procesului, indiferent de utilajul de laborator utilizat și de condițiile specifice de lucru.

În cazul măcinării în locuri inclinate, această viteză crește cu turație (excepție făcând turație supereritică  $n_s=70,0$  rot/min la care viteză de măcinare a frântunii mai mari de 0,09 mm este minimă).

Comparind rezultatele obținute în locuri  $\theta = 30^\circ \times 30^\circ$  mm cu cele, în condiții similare, în locuri inclinate, se constată că viteză de măcinare a frântunii mai mari de 0,09 mm este mai mare în cazul acorii inclinate.

In cazul măcinării în moare Bond, viteza de măcinare și secesiile frecțiumu crește cu creșterea maselor de material - la secolagi coefficient de umplere -  $\varphi_1$ , în general, cu coeficientul de umplere cu corporii de măcinare, la secesi masă a încărăturii de materiale.

- viteza de măcinare în diferite momente ale „processului”, înregistrată, în toate cazurile, o tendință de scădere după ce, în prima parte a măcinării, prezintă un maxim;

- viteza de măcinare în diferite momente ale procesului, în funcție de cantitatea de material măcinat în perioadele respective, are o sluri liniară, ușor evazată, crescând cu creșterea cantității de material măcinat, la un  $\varphi = \text{ct.}$ , la moare Bond și neîmpinzând de turăție la moare înclinată;

- celelalte corolajii nu prezintă particularități deosebite față de datele presentate în literatură.

## VII. STUDIUL CINETICII MĂGINIRII

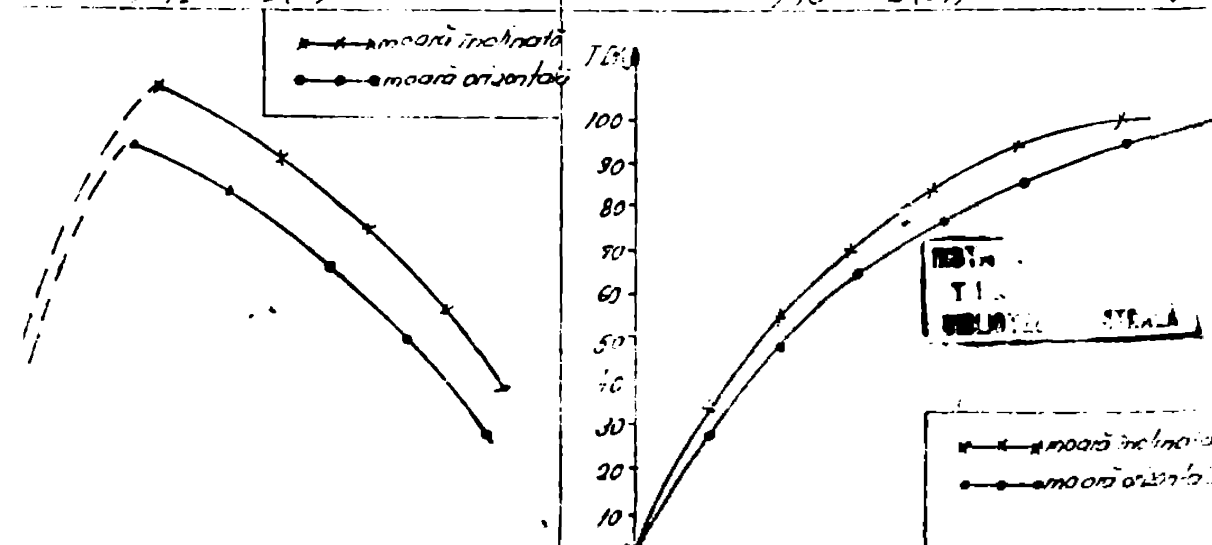
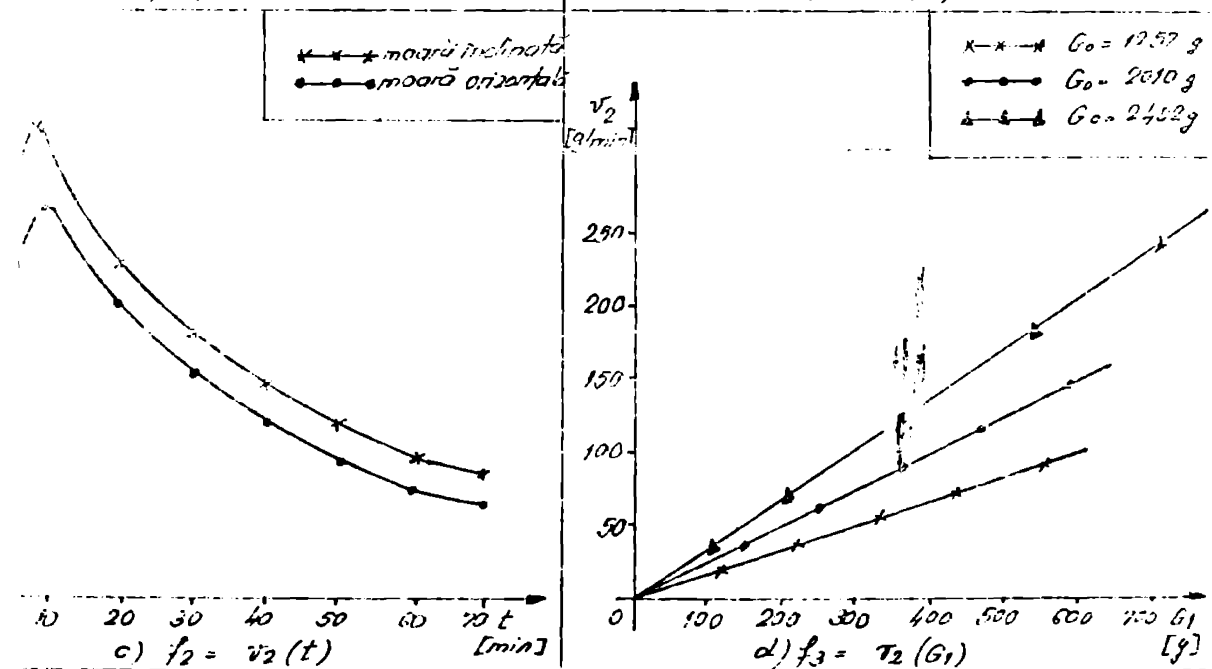
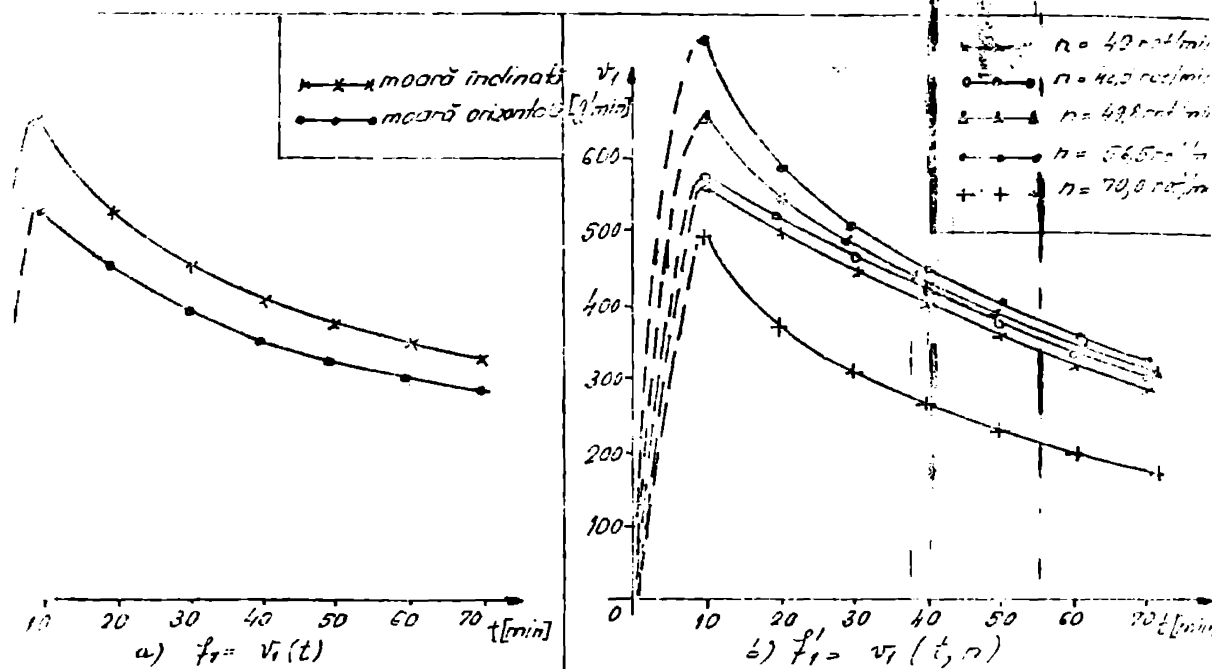
### 1. Interviuul preluat și lucrările fundamentale

„între cele mai vechi concepții asupra cinematici mărinătării figurată cele ale lui Fahrnowald (20). Aceste consideră ca variabilă fundamentală greutatea  $M$  a materialului care trece în timpul  $t$ , prin mită cu cehiul avind dimensiunea  $x$ . Acessul greutății  $M$  - exprimată, de exemplu în procente din greutatea totală a materialului - este o funcție de variabilă  $t$ :

$$M = M(x, t)$$

Fahrnowald a studiat variație lui  $M$  și a lui  $\frac{\partial M}{\partial t}$  în

**15 REPREZENTAREA GRAFICA A DIFERITELOR CORRELATII STABILITE LA STUDIUL DINAMICII PROCESELOR DE MACINARE IN UTILAJE DE LABORATOR**



funcție de timp, la sfârșitul căruia moare cu bila.  
El a ajuns la concluzia că derivata  $\frac{du}{dt}$  nu rămâne constantă  
decât în primele minute ale măcinării și numai pentru cele mai  
fine particole.

În aceeași ordine de lucru, Arbiter și Shreny (29), (30),  
Fuerstenau și Somasundaram (31) au studiat evoluția în timp a  
trunchiilor provenite din măcinarea unei cantități inițiale rela-  
tiv mici de material. El au ajuns să prezinte relație care  
leagă  $u$ ,  $x$  și  $t$  în primele minute ale măcinării și pentru or-  
ice valori dimensiunii mai mici decât a "alimentării". Această  
relație se poate scrie :

$$u(x,t) = e \left( \frac{x}{a} \right)^{\alpha} \cdot t \quad (20)$$

Zagustin și Alyeddin (13) au presupus că în timpul mă-  
cinării, în momentul  $t$ , variația greutății particulelor de di-  
mensiune  $x$  este proporțională cu această greutate. Acest lucru  
se poate exprima matematică :

$$\frac{du}{dx} = e(1-x) \quad (21)$$

sau :

$$u(x,t) = 1 - [1 - u(x_0,0)] e^{-xt} \quad (22)$$

Roberts (32), prin experimentările sale a arătat că  
această relație este valabilă numai cu condiția ca  $t$  să nu depă-  
șească o anumită limită.

Pentru a extinde valabilitatea acestei scheme, Alyeddin  
a propus o formulare mai complexă a expresiei de mai sus :

$$u(x,t) = 1 - [1 - u(x_0,0)] e^{-xt^B} \quad (23)$$

Dacă studiul său nu se referă în mod direct la acest  
subiect, trebuie totuși menționată contribuția lui Griffith (33)  
//.

care s-a întâlnit pentru prima dată noțiunea de "probabilitatea unei granule de a fi măcinată în timpul trecerii printr-o instalație de săruntire". Griffith a admis că această probabilitate depinde de o putere "n" a dimensiunii particulei. Utilizând această noțiune și un model matematic împreună cu teoria cineticii gazelor, el a obținut o legătură a distribuției ponderale, a cărei ecuație se scrie sub forma :

$$z = 1 - I \left( \frac{b}{\sqrt{a-1}} \cdot \frac{1}{x}, n=2 \right) \quad (24)$$

Această expresie prezintă o mare analogie cu funcția propusă de Svensson și Turkes pentru repartizarea curbelor granulometrice.

## 2. Teorii moderne referitoare la cinetica săruntirii.

Contribuțiile aduse de diversi cercetători la elucidarea aspectelor legate de cinetica săruntirii, se pot împărți în două categorii :

- similaritatea săruntirii cu o succesiune de concesări simple;
- similaritatea săruntirii cu o reacție chimică.

### 2.1. Similaritatea săruntirii cu o succesiune de concesări simple

Roobdent și Colleott (34) au considerat săruntirea ca o succesiune de concesări simple, această interpretare prezentând ca particularitate faptul că durata măcinării intervine direct. Autorii consideră măcinarea ca o sumă de concesări simple, urmând doar acest model fizic, se ajunge la unul matematic, operând cu diferențe finite și cu probabilități (de măcinare). Reu-

ția de bilanș, scrisă sub formă matricială, se prezintă astfel :

$$\Delta_1^H = [\Delta_{\text{NP}} + (I - P)] \Delta_0^H = D \Delta_0^H \quad (25)$$

Notății :

$\Delta_0^H$  și  $\Delta_1^H$  = matricei coloană ale fracțiunii .. începinte și după măciuare ;

$P$  = matricea diagonală ( $n,n$ ) a probabilităților de măciuare ;

$\Delta_{\text{NP}}$  = matricea triunghiulară ( $n,n$ ) a lui  $\Delta_1^H$  ;

$\varepsilon_j^j = (1 > j) =$  grăutatea granulelor din intervalul  $j$  care provin dintr-o concesare simplă din intervalul  $j$ .

În ipoteza lui Zeloy și Bergman (5), conform căreia concesările simple sunt identice, ecuația (25) devine :

$$\Delta_H = P \Delta_0^H \quad (26)$$

unde  $n$  reprezintă numărul de concesări. Acest număr  $n$  de concesări este o funcție crescătoare de timp și poate fi determinat prin comparație curbei granulometrice după măciuarea într-o perioadă de timp determinată, cu o familie de curbe de parametru  $n$ , traseate inițial.

Loveday (36), Moret și Yoccoz (37), Welsali (38) aduc îmbunătățiri acestui model. Lynch face în (39) o expunere sintetică a acestor teorii.

Modelul este ușor de urmat în sensul analogiei cu realitățile dar operă într-o ipoteză simplificatoare (cum este ceea ce concesările simple sunt identice), ceea ce conduce în final la o aproximare ușoară de departe de realitate. De altă parte, modelul

astenție laboriosă, nu poate urmări determinările experimentale ("a concașărilor simple"), iar timpul nu apare ca variabilă explicită în distribuția granulometrică obținute după măcinare.

## 2. Aminarea sărurilor cu o reacție chimică

O serie de cercetatori între care Petat și Langemann (40) au încercat să reprezintă evoluția în timp a distribuției granulometrice prin ecuații analoge cu cele care governă reacțiile chimice de decompunere.

Nămlăindu-se o analogie cu cinetica reacțiilor chimice se poate scrie o ecuație generală de formă :

$$-\frac{dG}{dt} = k \cdot G^n \quad (27)$$

în care :

$n$  = ordin de reacție ;

$k$  = constantă de viteză

In multe cazuri în literatură se admite că  $n = 1$  (reacțiile sunt de ordinul 1).

Degl pe această cale se obțin unele rezultate interesante, analogie formulată dintre cele două fenomene conduce la rezultate contradictorii. Apăr astfel situații de la ipoteza ordinului 1 de reacție cît și de la înverzirea "constantei de reacție"  $k$ .

Satorită acestor aproximăr., deși aminalarea sărurilor cu o reacție chimică reprezintă, în esență, unul din momente ale măcinării o metodă destul de simplă, nu reușește să descrie suficient de exact procesul pe totu durata sa.

### 3. Un nou model cinetic al procesului de măruțire

#### 3.1. Consideratii teoretice

Preocupandu-se de la studiul evoluției unei distribuții granulometrice ipotetice în timpul procesului de măruțire (v.fig.1) se poate realiza un model cinetic complex cuprinsind etapele cinetice ale unor reacții successive. Astfel "reacția A" trece în "procesul B", care trece "în procesul C", etc.etc., în funcție de numărul de intervale considerate utile de a intra în studiu A, B, C reprezentând fracțiuni granulometrice cuprinse între intervale de diametre determinante :

$$d_{A_{\max}} = d_{A_{\min}} + d_{B_{\max}} = d_{B_{\min}} + \text{etc}$$

În funcție de evoluție în timp a formei uicuriuțici granulare diferențiale se pot alege intervalele  $d_{\max} - d_{\min}$ , egale sau nu, importanță fiind să se ocupă cu diviziuni tot intervalul  $d_{\text{iniț.}} - d_{\text{final}}$  (unde  $d_{\text{iniț.}}$  reprezintă diametrul celei mai mari granule inițiale de măcinare și  $d_{\text{final}}$  reprezintă diametrul celei mai mici granule la sfârșitul măcinării).

Preocupandu-se la serierea reacțiilor cinetice, se obține, pentru un "model tridimensional", adică :



și pentru o reacție de ordinul I (dedusă în studiile lui Petet și Langemans), sistemul de ecuații diferențiale (2) :

$$\begin{cases} \frac{dA}{dt} = -k_1^1 A \\ \frac{dA}{dt} = k_1^1 A - k_1^2 A \\ \frac{dC}{dt} = k_1^2 A \end{cases} \quad (29)$$

cu soluția (30), în cazul elementarii monodisperse ( $B_0 = C_0 = 0$ ):

$$A_1 = A_0 e^{-k_1^1 t}$$

$$B_1 = \frac{k_1^1 A_0}{k_1^2 - k_1^1} (e^{-k_1^1 t} - e^{-k_1^2 t}) \quad (30)$$

$$C_1 = A_0 \left( 1 - \frac{k_1^1 e^{-k_1^2 t} - k_1^2 e^{-k_1^1 t}}{k_1^2 - k_1^1} \right)$$

Reprezentarea grafică a acestor expresii este dată în fig. 17.

In cazul elementarii polidisperse, se obține sistemul de soluții :

$$A_2 = A_1 = A_0 e^{-k_1^1 t}$$

$$B_2 = B_1 + B_0 e^{-k_1^2 t} = \frac{k_1^1 A_0}{k_1^2 - k_1^1} (e^{-k_1^1 t} - e^{-k_1^2 t}) + B_0 e^{-k_1^2 t} \quad (31)$$

$$C_2 = C_1 + C_0 + B_0 \left( 1 - e^{-k_1^2 t} \right) = A_0 \left( 1 - \frac{k_1^1 e^{-k_1^2 t} - k_1^2 e^{-k_1^1 t}}{k_1^2 - k_1^1} \right) +$$

$$+ C_0 + B_0 \left( 1 - e^{-k_1^2 t} \right)$$

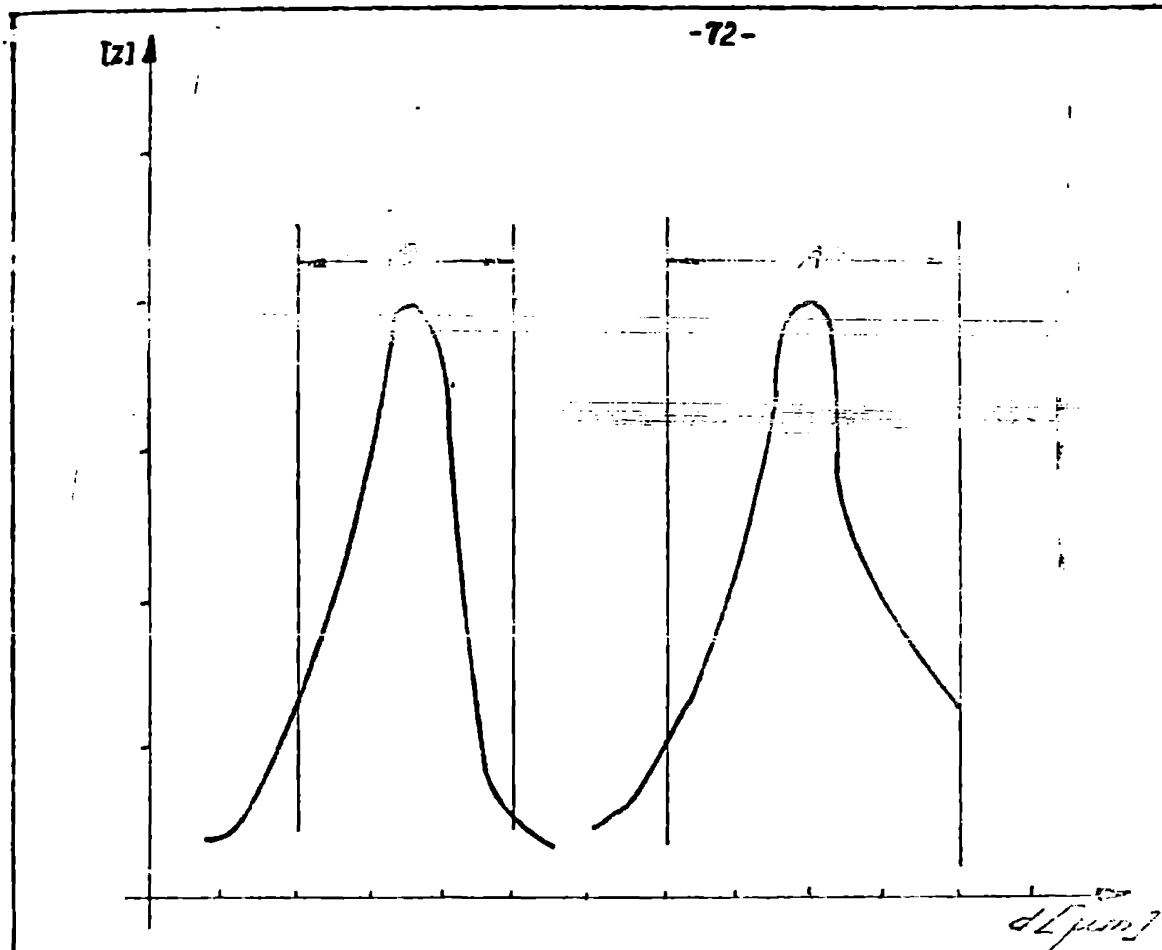


Fig. 16 Densitatea geometrică potențială în stadiul maxim.

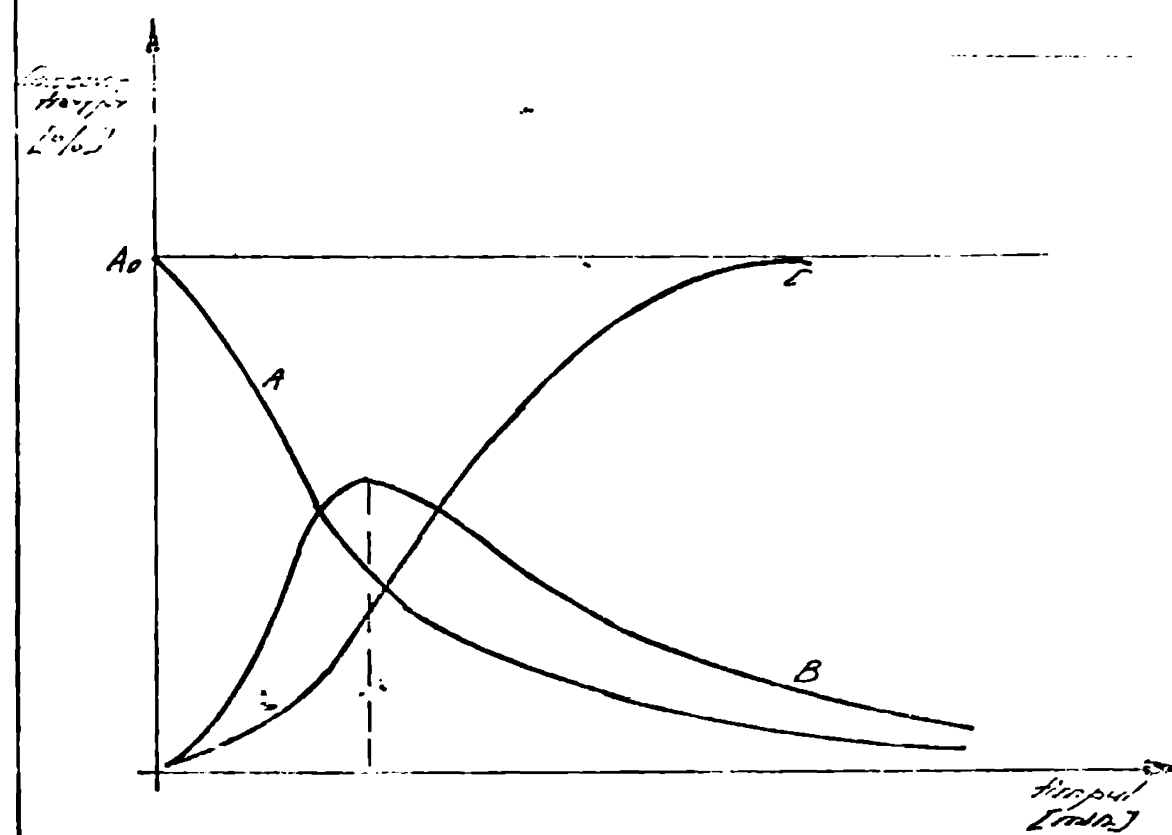


Fig. 17 Curbei cinetice în cazul reacțiilor succesiive de ordin I.

Impărțirea intervalului granulometric în trei (în cazul de față) sau mai multe intervale se poate convenabil și arbitrar, în sensul decelării diferențelor de acțiune funcție de dimensiuni.

Pe baza cunoștiilor cinetice și ținându-se seama de reprezentarea lor grafică (v. fig. 17), se pot desprinde cîteva aspecte caracteristice ale modelului propus:

3.1.1. "Reacțantul A" – se consumă conform unei reacții tipice de ordinul I. Se regăsește astfel situația ecuației cinetice propuse de Lotka și Langmuir.

3.1.2. "Produsul intermediar B" – viteza de formare va fi la începutul procesului mai mare decît viteză de consum, ducind la o acumulare de "produs B". Ulterior viteza de formare va fi depășită de viteză de consum, ducând în final la dispariția "produsului B".

3.1.3. "Procesul final C" – se caracterizează printr-o "perioadă de inducție", în timpul căreia viteza crește continuu, reacție prezintănd un caracter de autoaccelerare. În timp, viteza de formare a "procesului final" atinge o valoare staționară maximă, scăzând ulterior catorâtă consumării "reacțantului".

3.1.4. Modelul cinetic propus este mai complet decît cele anterioare, reflectând mai fidel fenomenele reale care au loc în timpul mărunțirii. Acest model consideră că în timpul mărunțirii au loc schimbări în parametrii de reacție, sitit intrinsec, prin modificarea "energiilor de acționare", adică a "energiilor specifice minime de sfârșinare", care sunt funcție de dimensiunile granulare, sit și extrinsec, prin modificarea spectrului incărcătu-

rile cu bile în lungul mării (deci și pe axa timpului și "vis-o-vis" de "reacții" de diferite dimensiuni).

3.1.3. Avindu-se în vedere că perioada de inducție (care poate întârziat mult desfășurarea procesului de formare a "produsului final") se confundă cu timpul necesar ca substanțe intermedii să ai atingă "concentrație" maximă, ea poate fi redusă prin adăugarea controlată a  $\beta$ . Adăugul optim va fi cel corespondător condițiilor de maxim, adică  $[B]_{\max}$ . Un adăug mai mare nu are nici un sens, deoarece în aceste condiții formarea "produsului C" va prezenta la început o scădere progresivă a vitezei de reacție și va atinge ocoala viteză maximă staționară.

Adaugul optim se calculează din condiția :

$$\left| \frac{d\eta}{dt} \right|_{\max} = 0 \quad (32)$$

respectiv :

$$\left| \frac{d\eta}{dt} \right|_{\max} = k_0 \frac{k_1^1}{k_1^2 - k_1^1} ( -k_1^1 e^{-k_1^1 t} + k_1^2 e^{-k_1^2 t} ) \quad (33)$$

de unde :

$$\tau_{\max} = \frac{1}{k_1^2 - k_1^1} \ln \frac{k_1^2}{k_1^1} \quad (34)$$

Luându-se în considerare semnificația cinetică a constanțelor de viteză, date de legea lui Arrhenius, adaptată pentru procesul cădinării de rotat și temperatură, exprimă :

$$[D]_{\max} = \frac{k_1^1}{k_1^2} [A]_{\max} \quad (35)$$

poate fi scriea ca :

$$[B]_{\max} = \frac{k_1^1 e^{-E_A^1/RT}}{k_1^2 e^{-E_A^2/RT}} \quad (36)$$

unde  $k_1^{1,2}$  sunt factorii preexponențiali pentru constantele  $k_1^1$  și  $k_1^2$  iar  $E_A^{1,2}$  sunt energiile de sfârșitare pentru "reațiiile" consecutive de ordinul I. În acest cas factorii preexponențiali sunt aproximativ egali, ceea ce conduce la ecuația aproximativă :

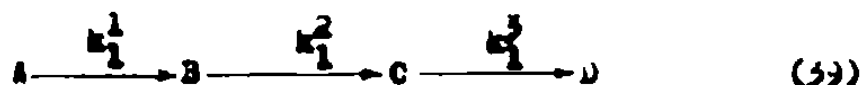
$$[B]_{\max} = \exp. \left[ - (E_A^1 - E_A^2)/RT \right] [A]_{\max} \quad (37)$$

Iată ce arată că, concentrația maximă a "produsului intermediar" depinde în primul rînd de diferența dintre energiile de activare caracteristice celor două procese consecutive a



3.1.6. Se pot concepe, pe același principiu, modele cu patru compoziți cu reații successive și consecutiv, cu reații de cabilioru în funcție de caracteristicile materiei prime și condițiile tehnologice.

Astfel, în cazul unei reații successive, de forma :



sistemul de ecuații este :

$$\left\{ \begin{array}{l} \frac{dA}{dt} = - k_1^1 A \\ \frac{dB}{dt} = - k_1^1 A + k_1^2 B \\ \frac{dC}{dt} = k_1^2 B - k_1^3 C \\ \frac{dD}{dt} = k_1^3 C \end{array} \right. \quad (40)$$

cu soluțiile (se consideră direct casul elementului polidisperzor) :

$$A_3 = A_1 = A_0 e^{-k_1^1 t}$$

$$B_3 = B_1 = \frac{k_1^1 A_0}{k_1^2 - k_1^1} (e^{-k_1^1 t} - e^{-k_1^2 t})$$

$$C_3 = C_0 e^{-k_1^3 t} + B_0 \frac{k_1^2}{k_1^3 - k_1^2} (e^{-k_1^2 t} - e^{-k_1^3 t}) \quad (41)$$

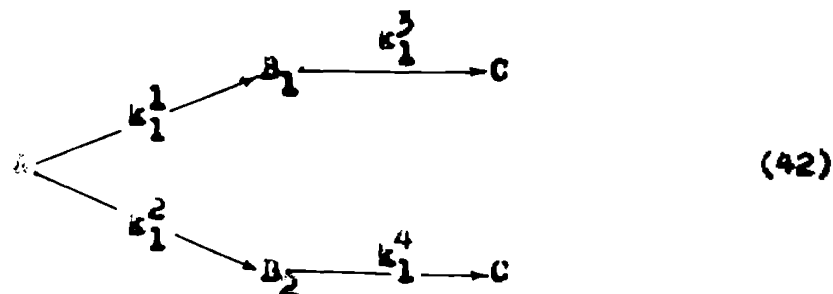
$$D_3 = A_0 (1 - e^{-k_1^1 t}) - A_0 \frac{k_1^1}{k_1^2 - k_1^1} (e^{-k_1^1 t} - e^{-k_1^2 t}) -$$

$$- A_0 \frac{k_1^2 k_1^1}{k_1^2 - k_1^1} \left( \frac{e^{-k_1^1 t} - e^{-k_1^3 t}}{k_1^3 - k_1^1} - \frac{e^{-k_1^2 t} - e^{-k_1^3 t}}{k_1^3 - k_1^2} \right) +$$

$$+ B_0 (1 - e^{-k_1^2 t}) - B_0 \frac{k_1^2}{k_1^3 - k_1^2} (e^{-k_1^2 t} - e^{-k_1^3 t}) .$$

$$+ C_0 (1 - e^{-k_1^3 t}) + D_0$$

In anumite cazuri impuse de practică, procesul de mărunțire se poate conduce după o kinetică a reacțiilor successive combinate cu cele concrete, după scheme :



generind sistemul de ecuații diferențiale :

$$\left\{ \begin{array}{l} \frac{dB_1}{dt} = k_1^1 A - k_1^3 B_1 \\ \frac{dB_2}{dt} = k_1^2 A - k_1^4 B_2 \end{array} \right. \quad (43)$$

dar :

$$A = A_0 e^{- (k_1^1 + k_1^2)t} = A_0 e^{-k_1 t} \quad (44)$$

și :

$$\left\{ \begin{array}{l} \frac{dB_1}{dt} = k_1^1 A_0 e^{-k_1 t} - k_1^3 B_1 \\ \frac{dB_2}{dt} = k_1^2 A_0 e^{-k_1 t} - k_1^4 B_2 \end{array} \right. \quad (45')$$

Soluțiile sistemului sunt :

$$\begin{aligned} B_1 &= B_{10} e^{-k_1^3 t} + A_0 \frac{k_1^1}{k_1^3 - k_1} (e^{-k_1 t} - e^{-k_1^3 t}) \\ B_2 &= B_{20} e^{-k_1^4 t} + A_0 \frac{k_1^2}{k_1^4 - k_1} (e^{-k_1 t} - e^{-k_1^4 t}) \end{aligned} \quad (45)$$

Menținerea bilanțului de material pe componente conduce la ecuațiile :

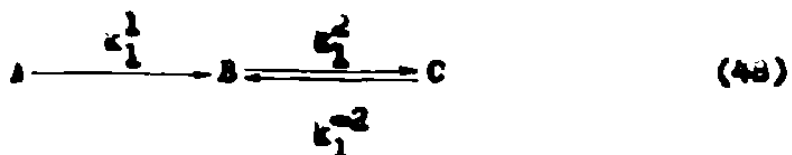
$$A + B_1 + B_2 + C = A_0 + B_{10} + B_{20} + C_0 \quad (46)$$

și :

$$\begin{aligned}
 C = & C_0 + B_{10} \left( 1 - e^{-k_1 t} \right) + B_{20} \left( 1 - e^{-k_1^2 t} \right) + \\
 & + A_0 \left( 1 - e^{-k_1 t} \right) + A_0 \frac{k_1}{k_1^2 - k_1} \left( e^{-k_1 t} - e^{-k_1^2 t} \right) + \\
 & + \frac{k_1^2}{k_1^2 - k_1} \left( e^{-k_1 t} - e^{-k_1^2 t} \right)
 \end{aligned} \tag{47}$$

In domeniul reacțiilor fine sau a suveniror materiale unde  
nu există probleme de adâncere (adică "reacții inverse"), se poate concepe un model cinetic care să combine reacțiile succitive într-o singură reacție de echilibru în etape și doar.

astăziindu-se aceleși notații, modelul cinetic propus este :



Iar pentru "produsul intermediu B" și "produsul final C" se obțin ecuațiile de evoluție :

$$\begin{cases}
 \dot{B} = k_1^2 A_0 e^{-k_1 t} - \frac{k_1^2}{k_1 - k_1^2} B + \frac{k_1^2}{k_1 - k_1^2} C \\
 \dot{C} = \frac{k_1^2}{k_1 - k_1^2} B - \frac{k_1^2}{k_1 - k_1^2} C
 \end{cases} \tag{49}$$

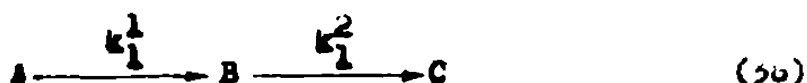
și, în final :

$$\begin{aligned}
 B = & B_0 e^{-\frac{(k_1^2 + k_1^2)t}{k_1^2 + k_1^2 - k_1}} + A_0 \frac{k_1^2 - k_1^2}{k_1^2 + k_1^2 - k_1} e^{-k_1 t} + \\
 & + (A_0 + C_0) \frac{k_1^2}{k_1^2 + k_1^2} (1 - e^{-\frac{(k_1^2 + k_1^2)t}{k_1^2 + k_1^2}})
 \end{aligned} \tag{50}$$

$$C = C_0 + A_0(1 - e^{-k_1 t}) \frac{k_1^2}{k_1^2 + k_1^{-2} - k_1^2} + \\ + B_0(1 - e^{-(k_1^2 + k_1^{-2})t}) - \quad (51)$$

$$= (A_0 + B_0 + C_0) \frac{k_1}{k_1^2 - k_1^{-2}} (1 - e^{-(k_1^2 - k_1^{-2})t})$$

aceea ce arată că, "concentrația maximă a produsului intermediar" se poate în primul rând de diferența dintre energiile de activare caracteristice celor două procese consecutive :



### 5.2. Experimentări pentru verificarea modelului propus

#### 5.2.1. Condiții experimentale

Avindu-se în vedere, pe de o parte rezultatele experimentelor prezentate la cap.VI, iar pe de altă parte leștul că procesele de măruntire desfășurate într-o moară înclinată pot fi mai ușor comparate cu cele dintr-un reactor chimic, experimentările pentru verificarea modelului cinetic propus s-au desfășurat într-o moară înclinată (v. cap.VI, pct. I).

Se permit de la două distribuții de fracțiuni granulometrice și se urmărește evoluția acestor distribuții în timp.

Procesul de măruntire a fost similit cu o succesiune de reacții chimice consecutive (model tricomponent și tetrascomponent pentru structura fină a variației "produsului intermediar").

Structura distribuției fracțiunilor granulometrice se

•/•

obținut prin cercarea pe site de control cu ochiurile de  $45 \mu\text{m}$ ,  $63 \mu\text{m}$ ,  $90 \mu\text{m}$ ,  $125 \mu\text{m}$ ,  $200 \mu\text{m}$  și  $250 \mu\text{m}$ .

Fracțiunea granulometrică  $0-45 \mu\text{m}$  a fost numită "produs C", cea între  $45 - 90 \mu\text{m}$ , ca "produsul intermedier B", iar fracțiunile mai mici de  $90 \mu\text{m}$ , "reacțentul A". În plus s-a studiat variația structurii "fine" a "produsului intermedier B" prin împărțirea în fracțiuni  $B_1$  ( $45 - 63 \mu\text{m}$ ) și  $B_2$  ( $63 - 91 \mu\text{m}$ ).

### 3.2.2. Rезултаты экспериментов

În cadrul experimentelor s-au făcut două încercări, pornind de la distribuții inițiale diferite:

- în cazul 1, alimentare există  $22,29 \%$  "reacțent A",  $27,2 \%$  "produs intermedier B" și  $50,21 \%$  "produs C";
- în cazul 2, la alimentare există  $29,47 \%$  component A,  $30,47 \%$  component B și  $38,06 \%$  component C.

rezultatele, adică variația "concentrației" A, B și C în timp se pot urmări în tabelul 18 și fig. 18-19. Din tabelul 19 și fig. 20-21 se observă că variația "concentrației" B = B(t) este variație specifică a componentelor fine globule (45-63  $\mu\text{m}$  și  $63 - 90 \mu\text{m}$ ). Conform celor deduse teoretic anterior se observă:

- perioada de inducție inițială la formarea fracțiiei fine;
  - punctele de inflexiune respectiv timpul la care se observă maximul intermedierilor  $B_1$  și  $B_2$ ;
  - maximul pentru intermedierii  $B_1$  și  $B_2$ ;
  - consumul continuu de material grosier.
- Întrucât viteza de consum a materialului grosier "reacțen-

EVOLUȚIA REPARTIȚIEI GRANULOMETRICE  
ÎN TIMP LA MĂCINAREA ÎN MOARA  
ÎNCLINATĂ

DE LARE in.)	FRACTIUNI GRANULOMETRICE		
	C 0÷45 $\mu\text{m}$	B 45÷90 $\mu\text{m}$	A >90 $\mu\text{m}$
0	50,21	27,5	22,29
5	58,26	27,4	14,34
10	60,90	30,04	9,05
15	65,88	28,7	5,42
20	70,87	25,12	4,01
25	73,85	22,78	3,37
30	85,18	12,66	2,16
0	38,06	36,47	25,47
5	66,73	22,23	11,04
10	69,76	22,59	7,65
15	68,9	24,64	6,46
20	73,6	22,93	3,47
25	75,3	22,74	1,96

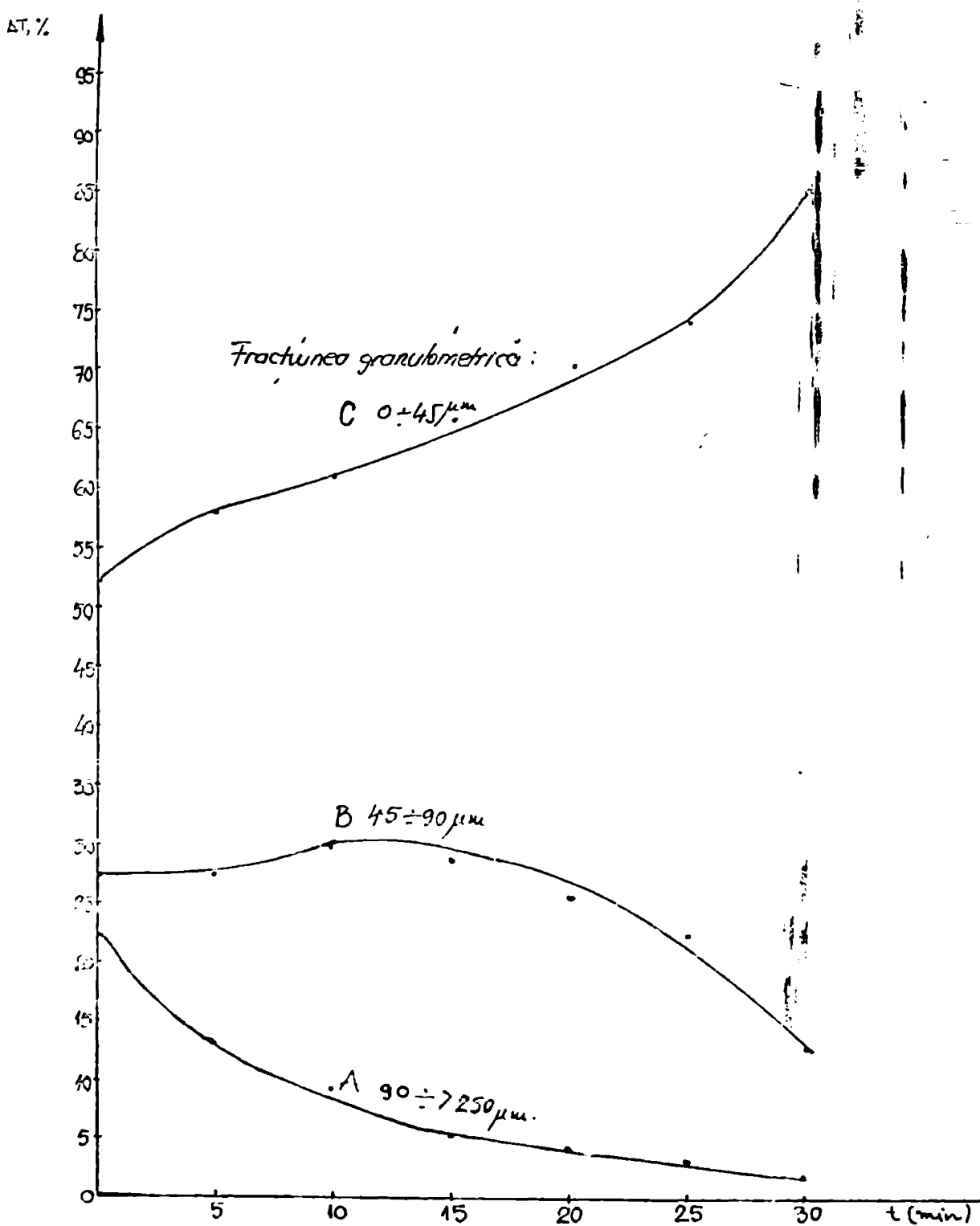


Fig 18 Evolutia in timp a repartitei granulometrice la masinare in ncoara inclinata (exp 1).

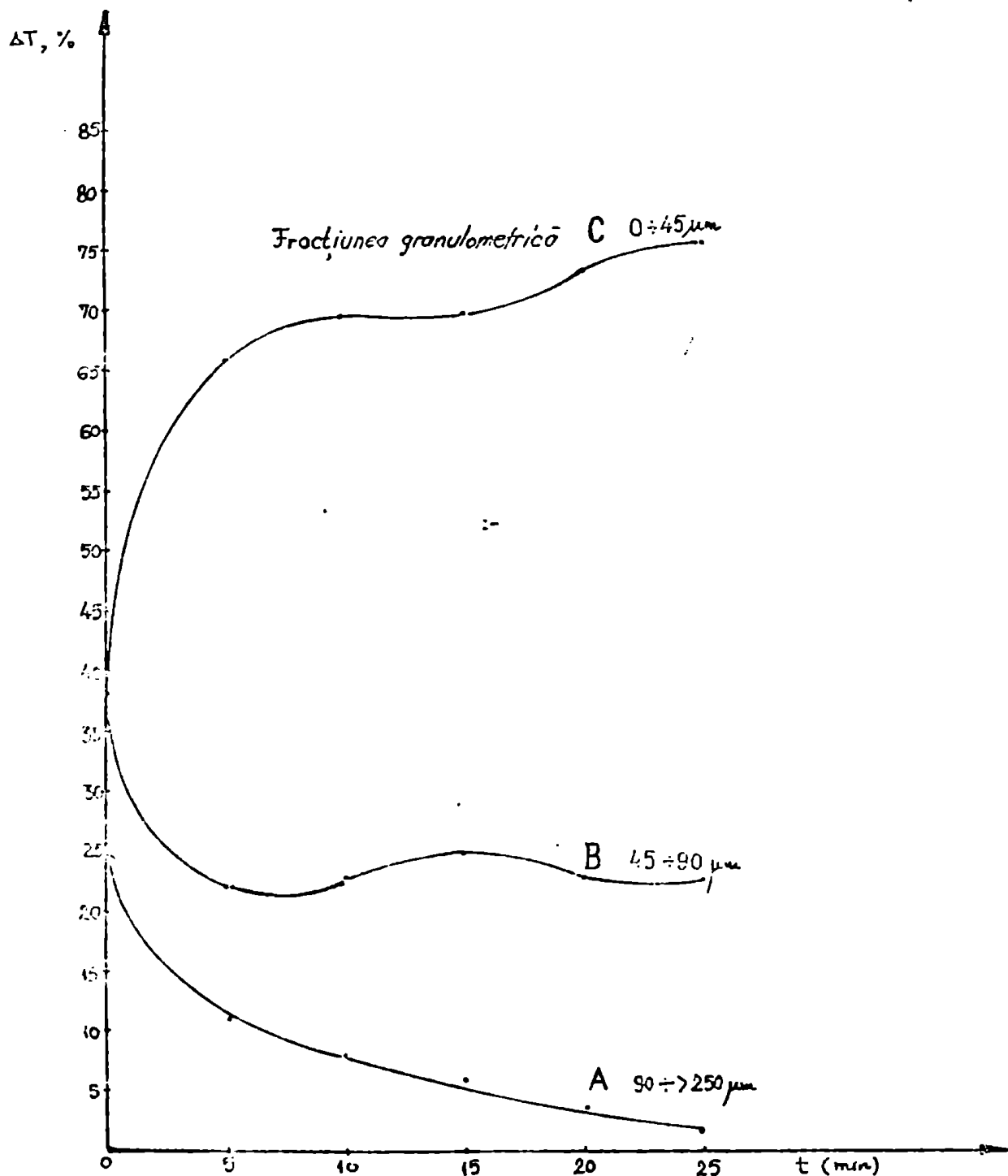


Fig. 19 Evolutia in timp a fractiunilor granulometrice ale dinchierului la mărirea în moara inclinată (expt 2).

**STRUCTURA FINĂ A REPARTIȚIEI  
GRANULOMETRICE ÎN TIMP LA  
MĂCINAREA ÎN MOARA ÎNCLINATĂ**

TIMP DE MACINARE (min.)	FRACTIUNI				GRANULOMETRICE			
	0 – $45 \mu m$	45 – $63 \mu m$	63 – $90 \mu m$	90 – $125 \mu m$	125 – $160 \mu m$	160 – $200 \mu m$	200 – $250 \mu m$	> 250 $\mu m$
0	50,21	14,02	13,48	12,15	5,88	2,86	1,05	0,35
5	58,26	12,85	14,54	10,42	1,97	1,43	0,27	0,23
10	60,9	16,96	13,05	7,12	1,22	0,51	0,1	0,11
15	65,88	16,85	11,67	4,26	0,5	0,42	0,11	0,21
20	70,87	16,21	8,91	2,82	0,38	0,41	0,13	0,27
25	73,85	14,03	6,75	1,98	0,32	0,37	0,16	0,54
30	85,18	4,1	6,55	1,42	0,18	0,2	0,17	0,19
0	38,06	20,03	16,44	16,27	4,58	3,6	0,62	0,4
5	66,73	14,15	6,08	6,72	1,45	0,69	0,14	0,04
10	69,76	7,57	15,02	6,4	0,42	0,71	0,06	0,56
15	68,9	14,32	10,32	5,42	0,62	0,29	0,08	0,05
20	73,6	14,73	8,2	3,07	0,15	0,11	0,07	0,07
25	75,3	15,85	6,89	1,58	0,1	0,1	0,07	0,11

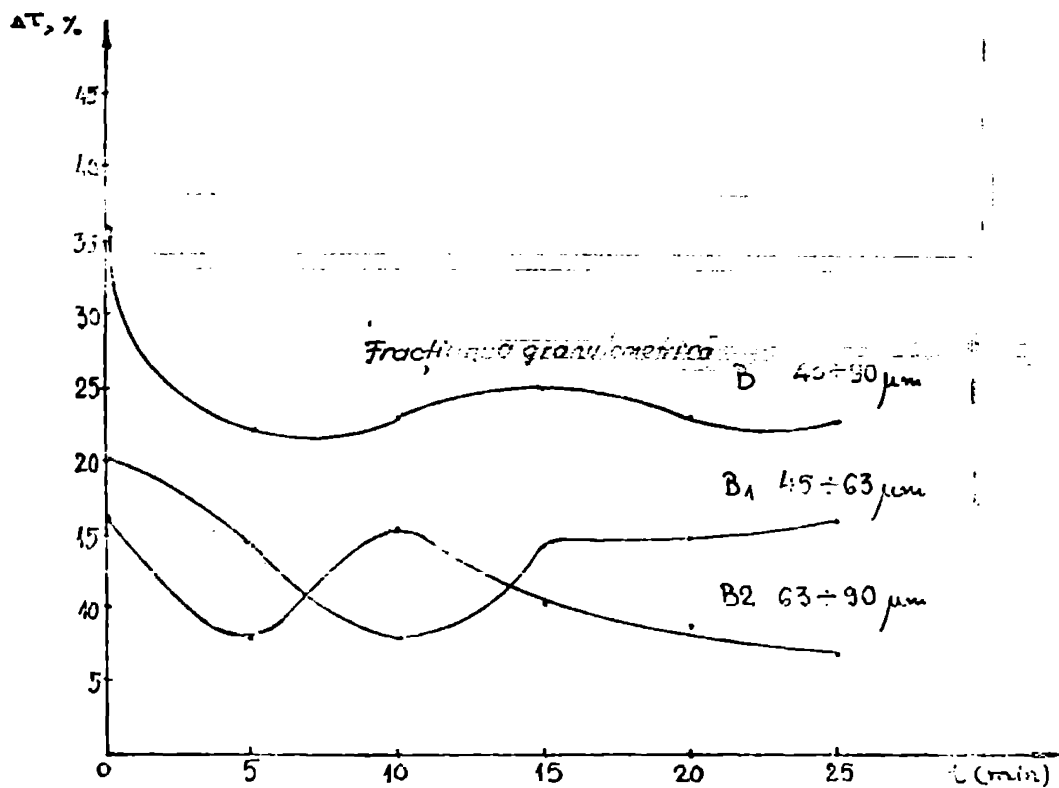


Fig. 20. Evolutia in timp a structurii fractiunii 45-90  $\mu\text{m}$  la macinarea in moara inclinata (exp 2).

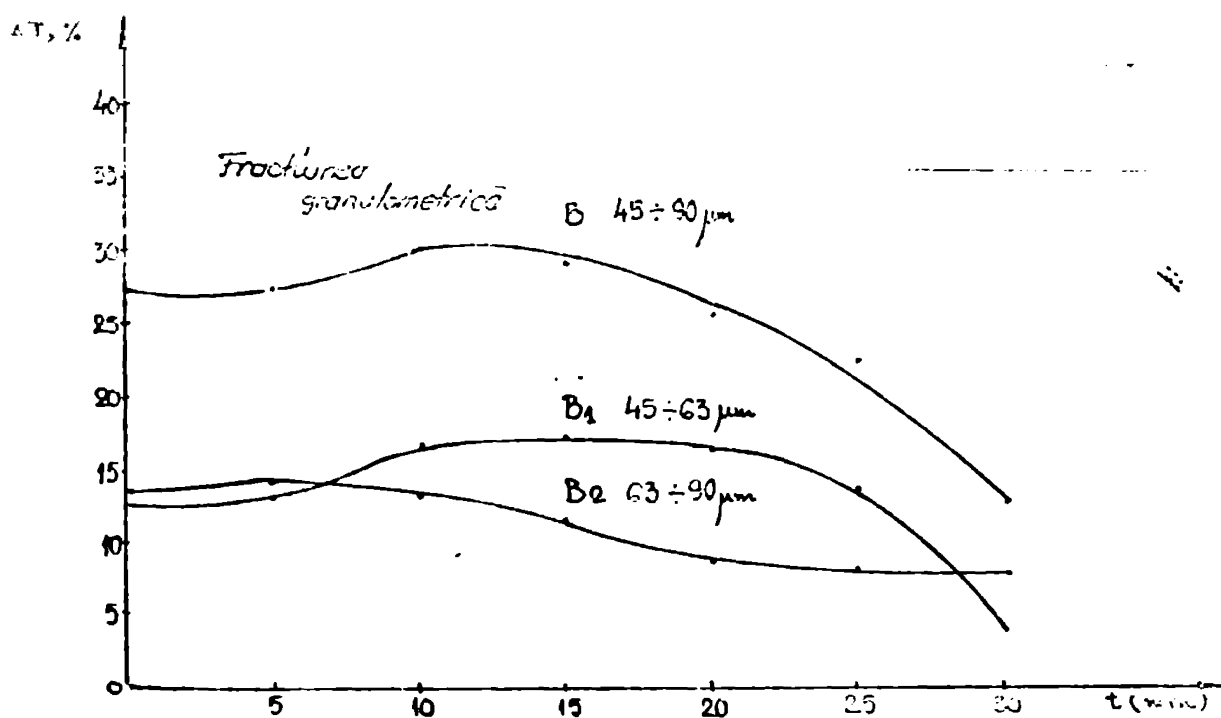


Fig. 21. Evolutia in timp a structurii fractiunii 45-90  $\mu\text{m}$  la macinarea in moara inclinata (exp 1).

s-a calculat constanta de viteza  $k_1$  cu metoda integrală. Valoarea obținută este :

$$k_1 = k_1^1 + k_1^2 = 0,092 \text{ min}^{-1}$$

Determinarea constantei de viteză s-a făcut din ecuație integrală

$$A = A_0 e^{-k_1^1 t} \quad (52)$$

care dă valoarea aritmetică, iar metoda timpilor de înjunghiere, cu relația :

$$\sum_{1/2} = \frac{1}{k_1^1} \ln 2 \quad (53)$$

dă o valoare propriată,  $k_1^1 = 0,4 \text{ min}^{-1}$ .

Se observă de succese, deplasarea maximului de "concentrație" de la dimensiuni mari la cele mici, în timp.

Așa cum prevede și modelul propus, adăosul inițial de componentă intermedieră mică care să nu eliminate perioada de inducție a variației "concentrației", viteză de formare a materialului fin obținându-se maximă pentru un succes mai mare de intermedier și (casul al doilea).

Frecvența fină C, provenind de la unii intermedieri,  $A_1$  și  $A_2$ , cu constante de viteză deosebite, evoluând în timp după variația intermedierilor  $A_1$  și  $A_2$ , astfel că prima porțiune a curbei este triunghiulară transformările frecvenței 63-43,43 în frecvențe 0-43,43, (perioada de încucere, creștere a vitezelor, punct de inflexiune, aplastinare), slura celei de-a doua porțiuni fiind identică.

### 3.3. Concluzii privind modelul cinetic propus

Analizele cineticei măcinării în cadrul experimentărilor efectuate le conduce la concluzie că este oportună elimentarea cu o distribuție granulometrică determinată precis.

După cum s-a arătat anterior, pentru acest model cinematic, care reflectă ceea ce înseamnă măcinarea, în cazul cunoașterii constanțelor de viteză și a energiilor de activare (calculate pe baza solicitărilor de compresiune lentă), se poate determina adesea optim de material intermediar ca dimensiuni, conducând la eliminarea perioadei de introducere la formarea materialului fin și obținerea unei viteze uniforme și maximă pentru acest proces, fapt ce ar avea repercusiuni asupra caracteristicilor tehnico-tehnologice ale morii (ex. scurterea lungimii conerelor morii etc.).

Studiuul privind cinematica procesului de măcinare evidențiază posibilitatea măririi vitezei de formare a fractiunii fine, - ceea ce se traduce în economii de energie electrică sau creștere a producției - printre altele controlată a morii, nu numai din punct de vedere gravimetric ci și din cel al raportării granulometrice.

Experimentările efectuate, precum și ecuația matematică elaborată arată că există o distribuție granulometrică optimă, adică o proporție unică, optimă din punctul de vedere al maximizării vitezei de formare a "finului" și că această proporție poate fi determinată experimental sau analitic.

În cazul concret și exploatarii industriale, această concluzie se traduce prin necesitatea strângătă a păstrării unei proporții fixe între cantitățile de material grosier și cea a con-

tății de material cu dimensiuni granulare intermediare. De regulă în această postură se obține "grîșul", respectiv alimentarea cu material proaspăt e morii.

In consecință, condiție sărată înseamnă impunerea unei valori fixe optime a coeficientului de recirculare a materialului prin moară, ceea ce :

$$\frac{f}{f+g} = \frac{q}{q+G} \quad (24)$$

pept ce se poate realiza fie prin reglarea debitului cu grîș G (înălț în relație cu finețea obținută), fie prin reglarea debitului L de alimentare cu material proaspăt. Evident, urmări respectând imperio, condiția uniformității alimentării sub aspect granulometric.

### VIII. Concluzii

In cadrul acestei lucrări, s-a urmat următoarele :

- studiul comportării granulelor de clincher la diferite solicitări (comprezisă lenta și șoc dinamic);
- studiul reperției granulometrice rezultate în urma măcinării clincherului în diferite urme de laborator;
- elaborarea, pe baza datelor acumulate, a unui nou model cinetic al proceselor de măcinare.

In urma acestor studii și urmărindu-se găsirea unor soluții privind laburărirea parametrilor actualelor instalații de măcinare și conceperea principiului a unor noi instalații de măcinare, cu rezultate energetice superioare la măcinare și cu consumuri energetice reduse, s-a ajuns la următoarele concluzii :

1. este nejustificată depășirea noului scădit nivel al ener-

gicii cu  $\varphi_0$ , nivelul cărui valoare depinde atât de granulația materialului cît și de compoziție sa chimică, dar care, în cazul clincherului se situează în jurul valorii de  $1,9 \pm 0,1$ . Analizindu-se în continuare comportarea la  $\varphi_0$  dinamic a clincherului, s-a stabilit relații analitice între energie de  $\varphi_0$  și integralele curbei granulometrico (deci încircet a fizicii obținute la mărușire).

2. Pe baza încercărilor la compresiune lenta s-a ajuns la concluzia că poate fi calculată energia utilă necesară pentru mărușirea prin compresiune lată, în funcție de dimensiunile granulari a clincherului și de granulație obținută, dacă se dispune de un set de date provenite din încercarea unei eșantii. Energiea astfel calculată reprezintă energie maximă utilă necesară mărușirii. Au fost obținute corelații matematice între forțe de afârșire necesară, diametrul granulelor și raportul de reducere, treinându-se diagrame ce pot fi folosite în proiectarea utilajelor de mărușire.

3. Există pentru fiecare material o distribuție granulometrică diferențială optimă din punct de vedere al vitezei de formare a finului, de alimentare a morii, determinată experimental sau analitic dacă se cunosc energiile de mărimire a materialului și constantele de viteză de formare și consum a fracțiunilor granulometrice. Această condiție se traduce în păstrarea constantă a unui raport optim cimetic dintre – în cazul unei mori industriale cu recirculare – debitul de grăs și cel de alimentare cu material proaspăt.

4. S-a elaborat un model pentru descrierea cineticii proceselor de mărușire, care reprezintă o contribuție originală la

descifrarea și modelarea matematică a acestor procese.

• Pe baza rezultatelor și studiilor întreprinse în cadrul acestei teme de cercetare fundamentală se propun ca direcții de investigare mai profunda, cu aplicabilitate practică, următoarele :

- stabilirea, pe baza mecanismelor investigate în cadrul soliciturilor la compresiunea ventă și joc dinamic, a solicitarilor optimi, sau a reportului optim dintre ele, pentru diferite materiale tehnologice și alegerea corespondentă a utilejelor de mărfuțire ;

- experimentarea industrială a unui nou sistem de reglare a conușterii morilor cu bile, bazat pe menținerea unui raport optim între debitul de grăsime și debitul de material proaspăt ;

- proiectarea unei instalații de măcinare principiol nouă, al cărei caracter de noutate îl constituie un alimentator-sortator, conform mecanismului cinetic elaborat în cadrul acestei lucriri, care să permită alimentarea morii cu o distribuție granulometrică optimă din punct de vedere a vitezelor de măcinare.

B I B L I O G R A F I C  
BIBLIOGRAFICĂ

- (1) Schöner, L. : Zene.G. nr.1/1979
- (2) Laric, J.P. : Cimente, betons, plăstres, cheuri, nr.6/1976.
- (3) x x x : Ansamblul statistic al României pe anul 1984.
- (4) Cioclov, D. : Mecanica ruperii materialelor, Securitate, 1977.
- (5) Guillet, R. : Le problème du broyage et son évolution. Paris, 1950.
- (6) Bond, J.C. : Trans. of the Inst. of Mech. Engineers. vol. 55 nr.2/1977.
- (7) Rose, John : Symposium Berkleinern, 1971.
- (8) Andreev, G.V. &c. : Probleme inusitante în roboconie podozaih inspecioană, Kiszka, 1961.
- (9) Bako, J. : Zene.G. nr.12/1978.
- (10) Romediu, Vero. : Prepararea prafului de cărbune, E.M., 1952.
- (11) Minescu, R. : Bazele tehnologiei ceramice și a zahărărcelor, Ed. tehnica, 1966.
- (12) Bond, J.C. : Pitt and Quarry, nr.1/1962.
- (13) Bako, J. : Principles of commination, Budapest, 1954.
- (14) Anselm, H. : Zerkleinungstechnik und Stein, Aasselburg, 1949.
- (15) Huber Paul : Revista minelor, nr.2/1962.

- (16) Pankrotov, S.S., ș.c.s. : Wiss.Ztschr. Te.H., Magdeburg, 1965.
- (17) Papadakis, H. : Z.K.G. nr.4/1963.
- (18) Papadakis, H. : Revue des astéries de construction, nr. 5/1957.
- (19) Bond, F.C. : A.S.M.E., New York, 1952.
- (20) Charles, R.J. : Min.Engineering, New York, 1957.
- (21) Escudero-Sains, L. : Génie chimique, nr.35/1962.
- (22) Rebinder, F.A. : Ind.techn.(A.S.M.E.) 1941.
- (23) Funaka, Tatsuo : Ind.and Eng. Chem., nr.4/1966.
- (24) Rittig : Chemische + Ind. Chemie, Berlin, 1935.
- (25) Rebinder, F.A. : Fiziko-techniceskaia mehanika, Moscow, 1950.
- (26) Kampf, H. : Berg- und Hüttenwissenschaften, nr.117, 1972.
- (27) Heese, U. : Z.K.G. nr. 3/1973, nr.1/1979.
- (28) Tillé, R., Panou, J. : Symposium Zerkleinern, 1966.
- (29) Beilich, L., Boche-Rosau, D., Schler, K. : Cuptoare și utilaje în industria miliștilor, București, 1973.
- (30) Arbiter, H., Harris, C. ș.c.s. : Trans.Amer.Inst.Mining+Metallurg. Petroleum Engg. nr. 244/1969.
- (31) Fuerstenau, D.W., Sonnendoron, R. : Aufbereitungstechnik, nr.5/1964.
- (32) Roberts, L.J. : Trans.A.I.M.E. nr. 187/1950.
- (33) Griffith, L. : Canadian Journal of Research, nr.6 sect.A/1949.
- (34) Broadbent, W.R., Calicott, G. : Phil.trans.Roy.soc.London, nr.299 1956.

- (35) Meloy, R., Bergstrom, J. : Proc. 7<sup>th</sup> Int. Min. Proc. New York,  
1954.
- (36) Loveday, B. : J. Min. Inst. Min. 1958 (p.111-141).
- (37) Larat, R., Freesle, L. : Min. Annu. Oct. cover, Mar.  
70-3-27
- (38) Melotti, B. : Proc. 7<sup>th</sup> Int. Min. Proc. New York  
New York 1954.
- (39) Wynd : Mineral crushing and grinding  
circuits, 1977.
- (40) Vast, R., Langensund, H. : Chemie - Ind. Ann. Nr. 9/1959.  
Nr. 1/1962.

o

o o